

(19)
(12)

(KR)
(B1)

(51) 。 Int. Cl. 7
B60K 41/00

(45)
(11)
(24)

2001 11 22
10 - 0302425
2001 07 03

(21) 10 - 1998 - 0056470
(22) 1998 12 19

(65) 1999 - 0063247
(43) 1999 07 26

(30) 97 - 350874 1997 12 19 (JP)

(73) 가 가 가 가 2
가 가 가 가

(72) 가 가 가 가 2 가 가
가 가 가 가 2 가 가
가 가 가 가 2 가 가
가 가 가 가 2 가 가

(74)
:

(54) - CVT

(CVT)

CVT

1 CVT .

2 .

3 / CVF .

4 .

4a 4 .

4b 4a .

4c 4b .

4d 4 .

4e 4d .

4f 4e .

4g 4b .

5 .

6 가 CVT CVT .

7 .

8 2 1 2 CVT 가

9a 0 2 CVT B .

9b 0 2 8 C .

10 2 1 2 CVT a

b .

11 9a B 2 C1 .

12 2 1 2 CVT a

b1 .

13 9a B 2 C2 .

- 14 (Ne) (T_E) .
- 15 (Ne) (T_D)
- 16 , a .
- 17 , b .
- 18 g .
- 19 g .
- 20 (VSP) f .
- 21 (Ne) Tred .
- 22 (Ne) Tred .

*

- 1 : 3 : (CVT)
- 4 : 5 :
- 8 : 10 :
- 11 : 12 :
- 20 : 22 :

(CVT)

hybrid power unit) (h

CVT , CVT ()/()

(1) 가 , (shift - down) 가 CVT 가 가 ,

(2) 가 , 가 (shift - up) CVT 가가
 가
 가
 5,790,968 (JP - A 7 - 239002)
 (apparent torque) CVT CVT (= CVT 가 가) CVT
 CVT CVT
 JP - A 8 - 177541 - CVT
 , 가 , CVT 가 ,
 CVT CVT
 가 CVT , 가 CVT
 CVT 가 가 CVT 가 CVT
 , 가 CVT
 CVT 가 가 CVT Te inertia

[1]

Te inertia = JI · w · Gf · (dG/dt)
 , J1 CVT
 , Gf , w , G CVT
 CVT CVT
 가 CVT
 CVT 가 CVT
 T₁ T₁ G , dG/dt dG/dt T_I , 가 ,
 가
 8 13 . 8 , A
 가 T (variance) 0.01 . 9a , B 0 2 CVT 2 CV
 C 0 2 8 . 9a dG/dt , 9b ,
 1 G . 9b dG/dt , 8

dG/dt 1 G . 9b 9a , 9a 9b
Te inertia dG/dt 9b 1

가

10 , a 2 1 2 CVT b a , b

8 A CVT 11 , C
1 2
C1 9b C , 9a B C1 11 , 11 C1
1 dG/dt

12 13

12 , a 2 1 2 CVT b1 10 b , b1

8 A CVT 13 ,
C2 2
가 가 , 11 C2 C1 , 9a B C2 13 , 13
1 dG/dt B

CVT CVT 가 ,

, CVT 1 가 2

CVT , 1 2

1

, CVT 1 가 2

CVT , 1 2

1

, CVT

1

가

2

CVT , 1 2

1

, CVT

1

가

2

CVT , 1 2

1

1

가

- CVT

(1)

가

가

(CVT, 3)

가

(hydrostatic)

CVT

가

CVT

가

CVT

V

V

CVT, (toroidal) CVT가

(toric)

(1)

가

(1a)

(22)

(1)

CVT(3)

CVT

(20)

(24)

(20)

CVT(3)

(24)

(5)

(20)

CVT

(24)

(4)

(22)

(4)

가

(1)

CVT

(2a)

24) (4) (22) (5) (2a) (20) CVT (22) (2b)
 1) (4) (2b) CVT(3) (F-R) CVT (2b)
 - CVT (8) 가 (9) 가 (9)
 가 (ACC) (8) 가 (8) (8) (2b)
 F-R (2b)
 (8) (10) (12) (1) CVT(3) (8)
 (11) (11) (5) (10) CVT (2)
 (2a)가 (12) CVT (22) (22) (transients)
 CVT (20) CVT (22) (ta
 ble look - up conversion)
 CVT (22) (2a) (26)
 CVT가 (8) (28) (30)
 (1a) (1b) (1c)
 CVT(3)
 1992 1 28 5,083,474
 13 CVT 1998 1
 5,707,313
 (8) , 1
 2 (1) (1) 가
 (104) (1) 2 (100)
 (102) (106) (1a)가
 (106) (110) (104)
 2
 가 (104) 가 (112)
 (EGR; 114) 가
 (106) (116) EGR (114) E
 (118)
 GR (104) 2 (120) 2
 (122) , 2 (124)
 가

3

3 , F - R (2b) , (2a) CVT (20) CVT (22) (2a) CVT (22) (200) , (26) (202) (200) (202) (204) (206) (204)가 (202) (200) (204) (210) (208) (204)가 (12a) (26) (26) (26) F - R (2b) (PGS) PGS (214) (26) P GS (216) CVT (22) (216) (218) (220) (218) (22) (220) (214) (224) (216) (26) (226) (226) (222) (210) (224) (226) CVT(3) " " " " " " " " " " (224) (26) (226) " " " " " " " " " " , PGS CVT (22) (226) (224) (222)가 (214) (216) CVT (22)

CVT (22) (210) (230) 1 (230) 1 (234, 236) 2 (238) 2 (240, 242) 1 2 (234, 240) (236, 242) 1 2 (242, 244) (230) (210) (246) (246) (236, 2) 42) (248) (236, 242) (246) (248) (246) (210) (252) 1 (250) (210) (210) (252) 2 (254) (210) CVT (24) (256) (12A) (26)

1 (260) 1 (234) (236) 2 (262) 2 (240) (242) 1 (260) (264) (266) (264) (264) (268) (230) , CVT (22) (266) (264) (234) 2 (262) (274) (276) (27) 6) 2 (240) (274) 1991 7 2 5,02

7,669

(232, 238)

(234, 240)

(236, 242)

" (steering)"

5,083,473

1996 9 11
CVT

12
"- CVT

135 140 "

- CVT

4
(302)

(300) 가
(302) (304)

(304)

(302) (306) (308)

(306)

(306) (306)

(310)

2 가
(314) (310)

가 (312) (316)

(316)

(318)

(320)

(316)

(322)

(324)

(1a)

(324) PID
(326)

(320)
(326)

(330)

(dynamics)

(328)

(300) 가

가

(332)

(334)

(VSP)

(332)

(332) 가 (9)

(VSP)

(336)

CVT (Ni)

(332)

2

6 2

(334)

(336) CVT
(338)

(Ni)가 (338)

(Gt)

(340)

(338)가 CVT

[2]

$$Gt = k1 \cdot Ni/Vsp$$

, k1 Ni/Vsp (234, 240) (236, 242)

(340) (Gt) (342) (342) (344)
(Gi) (Gt) (Gi)

(344) (346) (334)
(346) (348) (350)
(346) 2 (348) (352)
(308) (354) (354)
PID (352) (354) (358)
(362) CVT 가 (308) (360) CVT

(344) (Gi) (370) (372) ((374) (374) (8) (w)
11) (374) (376) (w) (376) (w)
(370) (378) (J1)가 (370)
CVT (22)가 (J1) CVT (2b)가
(1) (J1) (380) (Gf)가
(370) (Gf) (370)
(Gi), (w), (J1), (Gf) (382)
(Te inertia) (382) (Te inertia) (384)
(308) (384) (384) (384)
(384) (314) (Te inertia)
가 (312) (314)

(342) 가 (340) (Gt)가 (Gi)
(344) (334) (Gi) (Gt)

(342) (Gi) , ,

[3]

$$Gi = \{1/(1 + T \cdot s)\} \cdot Gt$$

, T 1 , s
, T가 (Gi)

$$(G_i) \quad 2$$

[4]

$$G_i = G_i(k-1) + \text{sign}\{G_{tk} - G_i(k-1)\} \cdot \min\{G, G_{tk} - G_i(k-1)\}$$

, $G_i(k-1)$, G_{tk} , " G

$G_i(k-1)$, "sign" { } 가 . (ramp) , "min" " G $G_{tk} -$
(G_i) .

3

[5]

$$G_i = \{R1(s)/R2(s)\} \cdot G_t$$

, $R1(s)$ (G_t)가 , $R2(s)$ C
VT

$$(G_i) \quad 4 \quad M(s) \quad G_m(s)$$

$M(s)$ 가,

[6]

$$M(s) = 1/(1+T1 \cdot s)$$

, $T1$ 1

, (G_i) :

[7]

$$G_i = A \cdot G_t(k-1) + B \cdot G_i(k-1)$$

7 , $B = \exp(-T_{\text{samp}}/T1)$, $A = 1 - B$. T_{samp}

$$\begin{matrix} (342) & (344) & (G_i) & (344) & (G_i) \\ (346) & & (370) & & \end{matrix}$$

$$(370) \quad (dG/dT) \quad ,$$

[8]

$$(dG/dT) = \{G_{ik} - G_{i(k-1)}\} / T$$

, T

(370)

(Te inertia)

1 dG/dT

8

$$N(s) = s \times M(s)$$

2

(340)

(Gt)

M(s)
N(s)

. N(s)

[9]

$$N(s) = s / (1 + T1 \cdot s)$$

, (dG/dt)

[10]

$$(dG/dt) = C \cdot Gt(k) + D \cdot Gt(k-1) + E \cdot (dG/dt)(k-1)$$

$$C = \{1 - \exp(-T_{\text{samp}}/T_I)\} / T_{\text{samp}}, \quad D = \{\exp(-T_{\text{samp}}/T_I) - 1\} / T_{\text{samp}}, \quad E = \exp(-T_{\text{samp}}/T_I)$$

(dG/dt)

3

(340)

(dGt/dt)

inertia)

(370)

(382)

(Te inertia)

(382)

(Te

(384)

(308)

(384)

(384)

7

(384)

(314)

(T

e inertia)

(314)

가

(312)

5

400

(8) 가

(, , ,), , ,

402

(5)

(w)

404

CVT

(Ni)

6

406

가

408

2

(Ni)

(VSP)

(Gt)

410

3

(Gt)

(Gi)

412

(Gi)

(Te inertia)

414

(Te inertia)

416 , 418 ,
 422 , 420 , 424
 426 , (Gi) (VSP) 428 ,
 430 ;
 432 ,
 434 , 436 ,

- CVT

4 , (338) (Gt) (342)
 (370) (340) (Gt) (370) (382)
 (Te inertia)

4a 4b , (338) (Gt)가 (370A)
 가 (370A)
 (384A) 1 7 가 1 4a
 4 가 4 4a 4b
 (370A)

(Gt) G

[11]

$$G = P(s) \cdot e^{-T_{cvr} \cdot s} \cdot Gt$$

, P(s) (Gt) G ,

Tcvt CVT

, Te inertia .

[12]

$$\Delta Te_{inertia} = J1 \cdot \omega_w \cdot Gf \cdot s \cdot P(s) \cdot e^{T_{cvr} \cdot s} \cdot Gt$$

1) (Te contro1) (Gt) (Te contro
 TE , T_D , T_{ETC} T_D
 Te control Gfil0(s)

[13]

$$\Delta Te_{control} = J1 \cdot \omega_w \cdot Gf \cdot \{ e^{-T_D \cdot s} / (T_E \cdot s + 1) \} \cdot \{ 1 / (T_{ETC} \cdot s + 1) \} \cdot Gfil0(s) \cdot Gt$$

(Te inertia) (Te control) Gfil0(s) 12
 13

[14]

$$Gfil0(s) = s \cdot P(s) \cdot (T_E \cdot s + 1) \cdot (T_{ETC} \cdot s + 1) \cdot e^{-(T_{CVT} - T_D) \cdot s}$$

4b (370A) (500) (502) (500)
 , Gfil0(s) 14 , J1, w Gf (502) (340)
 (Gt) (502) tTe (502) , Gfil0(s)

[15]

$$tTe = J1 \cdot \omega_w \cdot Gf \cdot Gfil0(s) \cdot Gt$$

(502) (382A) tTe (382A)
 tTe (384) (384) (4a) (308) (Ne)
 (384) , tTe tTe
 Ne tTe
 Gfil0(s) , CVT - CVT
 가 가 (Te inertia)
 (Te contro1) 12,
 13, 14 15 T_E, T_{ETC} T_D 가 가 (Ne),
 (TP), (VSP), (G), (PL) (T o)
 가 Gfil0(s)
 14 (Ne) (TP) T_E 가
 15 (Ne) T_D 가 T_{ETC}
 . P(s) CVT ,

[16]

$$P(s) = G_{CVT}(s) - G_{LOGIC}$$

, $G_{CVT}(s)$ CVT , G_{LOGIC}

CVT $G_{CVT}(s)$,

[17]

$$G_{CVT}(s) = (g \cdot f) / (s^2 + g \cdot b \cdot s + g \cdot f \cdot a)$$

, a, b, g f .

16 20 a, b, g f 가 .

16 17 , a, b , 18 19 , g , a, b 가 (18 f) . 가 g 가 , CVT $G_{CVT}(s)$ 17 , G_{LOGIC} , Gfil0(s)

4c 가 . 4c (370B)가 (370A) Gfil0(s) Gfil1(s) G 4b , (Gi) G

[18]

$$G = Q(s) \cdot e^{-T_{CVT} \cdot s} \cdot Gi$$

, Q(s) (Gi) G .

(Gi) ,

[19]

$$Gi = M(s) \cdot Gt$$

, (Te inertia) ,

[20]

$$\Delta Te_{inertia} = J1 \cdot \omega_w \cdot Gf \cdot s \cdot Q(s) \cdot e^{-T_{CVT} \cdot s} \cdot M(s) \cdot Gt$$

(Te control) (Gt) Gfil1(s)
(Te control) ,

[21]

$$\Delta T_{e\text{control}} = J1 \cdot \omega_r \cdot Gf \cdot \left(e^{-T_D \cdot s} / (T_E \cdot s + 1) \right) \cdot \left(1 / (T_{ETC} \cdot s + 1) \right) \cdot Gfil1(s)$$

· Gt

(Te inertia) (Te contro1) Gfil1(s) ,

[22]

$$Gfil1(s) = s \cdot Q(s) \cdot (T_E \cdot s + 1) \cdot (T_{ETC} \cdot s + 1) \cdot e^{-(T_{cvt} - T_D) \cdot s} \cdot M(s)$$

20 21 .

4c , (370B) (600) (602) (600)
, Gfil1(s) 22 , J1, w Gf (602) (340)
(Gt) (602) (602) , Gfil1(s) ,

[23]

$$tTe = J1 \cdot \omega_r \cdot Gf \cdot Gfil1(s) \cdot Gt$$

(tTe) .

(602) (382A) ("tT e) (382A)
(tTe) (tTe)
(384)(4a) .

4d 4e , 가 . s가 22 M(
s) 가 , (Gi)

Gfil2(s) ,

[24]

$$Gfil2(s) = s \cdot Q(s) \cdot (T_E \cdot s + 1) \cdot (T_{ETC} \cdot s + 1) \cdot e^{-(T_{cvt} - T_D) \cdot s}$$

4d 4e , (370C) (700) (702) .
 (700) , Gfil2(s) 24 , J1, w Gf (702) . (702) . (702) , Gfi
 344) (Gi) (702) . (702) , Gfi
 l2(s) ,

[25]

$$tTe = J1 \cdot w \cdot Gf \cdot Gfil2(s) \cdot Gi$$

(tTe)

Gfil1(s) Gfil2(s) , , CVT - CVT 가
 , T_E, T_{ETC} T_D 가
 가 (Ne), (TP), (VSP), (G), Gfil1(s), Gfil2(s)
 (PL) (T₀) 가 .

Gfil0(s), Gfil1(s), Gfil2(s)가
 , (low - order approximation) 1989
 8 , IEEE TRANSACTIONS ON AUTOMATIC CONTROL, 34 8 , 802 - 812 , "
 " . . (Brian D. O. Anderson) (YI LIU)

[26]

$$Gfil(s) = s / (Tred \cdot s + 1)$$

Gfil(s) , Tred 21

(" tTe) ,

[27]

$$tTe = J1 \cdot w \cdot Gf \cdot Gfil(s) \cdot Gi$$

(Gi) ,

[28]

$$tTe = J1 \cdot w \cdot Gf \cdot Gfil(s) \cdot Gt$$

(Gt)

4f , (370D) (800) (802) . (800)
 , Gfil(s) 26 , J1. w Gf (802) . (344)
 (Gi) (802) (802) , 27
 (tTe) Gfil(s)가 .

4g , Gfil(s) (Gt) 26 (802A) (tTe) (370E) , J1, w (800) Gf (802A) (802A) (802A) (800) (340) 28 Gfil(s)가 Tred Gfil(s) Tred , 21 Tred , 22 26 4a, 4b, 4c 4g (Gt) (Te inertia) 가 (Te control) (tTe) tTe , CVT - CVT 4d, 4e 4f inertia) 가 (Te control) (tTe) , CVT (Gi) (Gi) tTe (Te) , CVT - CVT

9 - 350874

CVT , CVT 가 .

(57)

1.

T 1 가 , CV 2 CTV , 1 2 , 1

2.

1 ,

3.

1	,	가	
4.			
1	,		
5.			
4	,		
6.			
4	,		1
7.			
5	,		1
8.			
4	,		
9.			
5	,		
10.			
4	,	가	
,		CVT	
11.			
5	,	가	
,		CVT	
12.			
4	,		가

13.

5 ,

가

14.

T

1

가

2

, CV

CVT , 1

2

,

,

,

,

1

15.

1

가

,

CVT

2

CVT ,

CVT

,

1 2

,

가

,

,

,

,

가

,

,

,

가

,

,

가

,

,

,

,

,

1

16.

15 ,

17.

T 1 가 2 , CVT , 1 2 ,

1 , , ,

18.

T 1 가 2 , CVT , 1 2 ,

, 1 , ,

19.

17 , 가

20.

17 , CVT

21.

18 , CVT

22.

17 ,
.

23.

17 ,
.

24.

23 ,
.

25.

18 ,

가

26.

19 ,
.

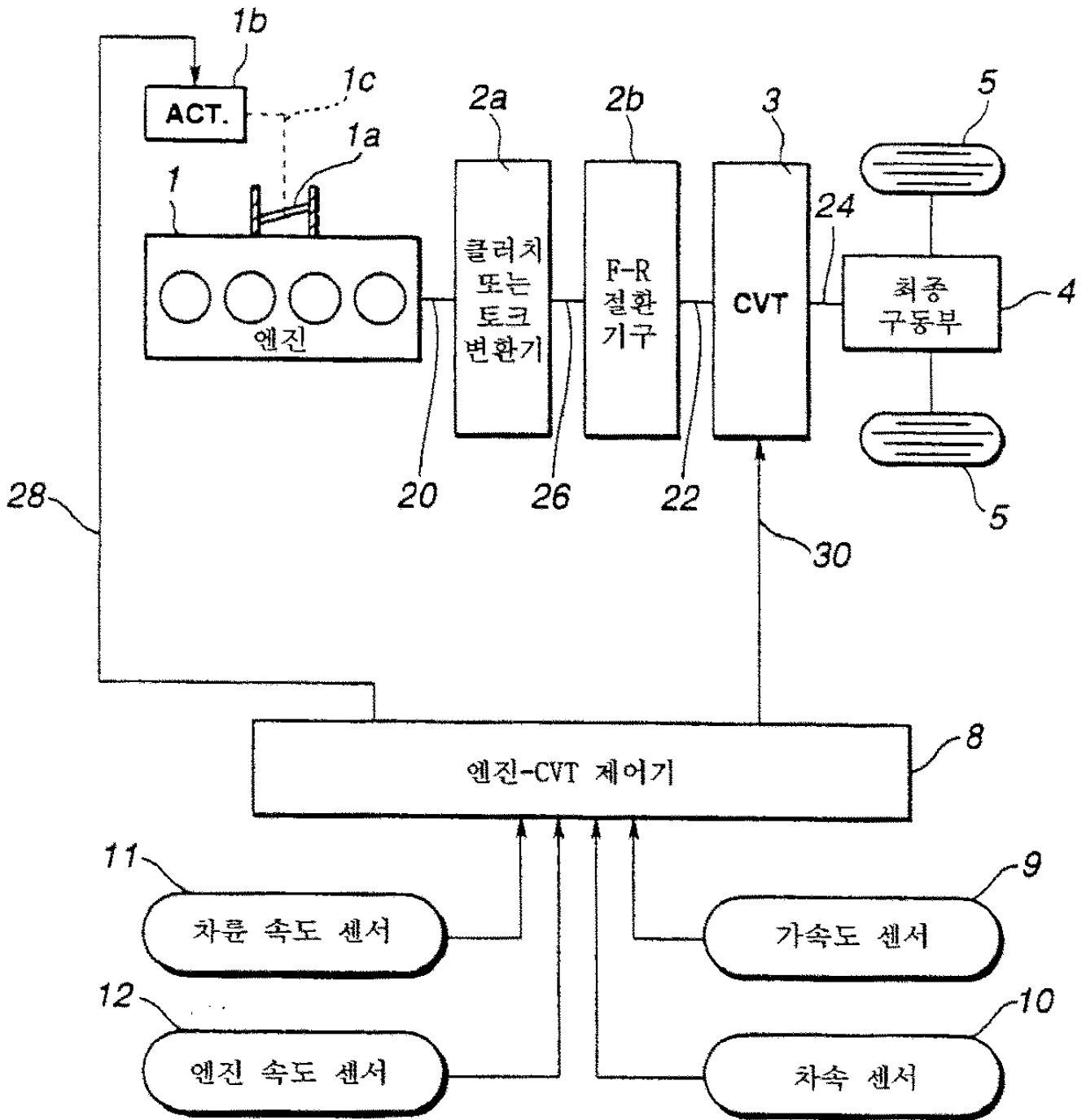
27.

18 ,
.

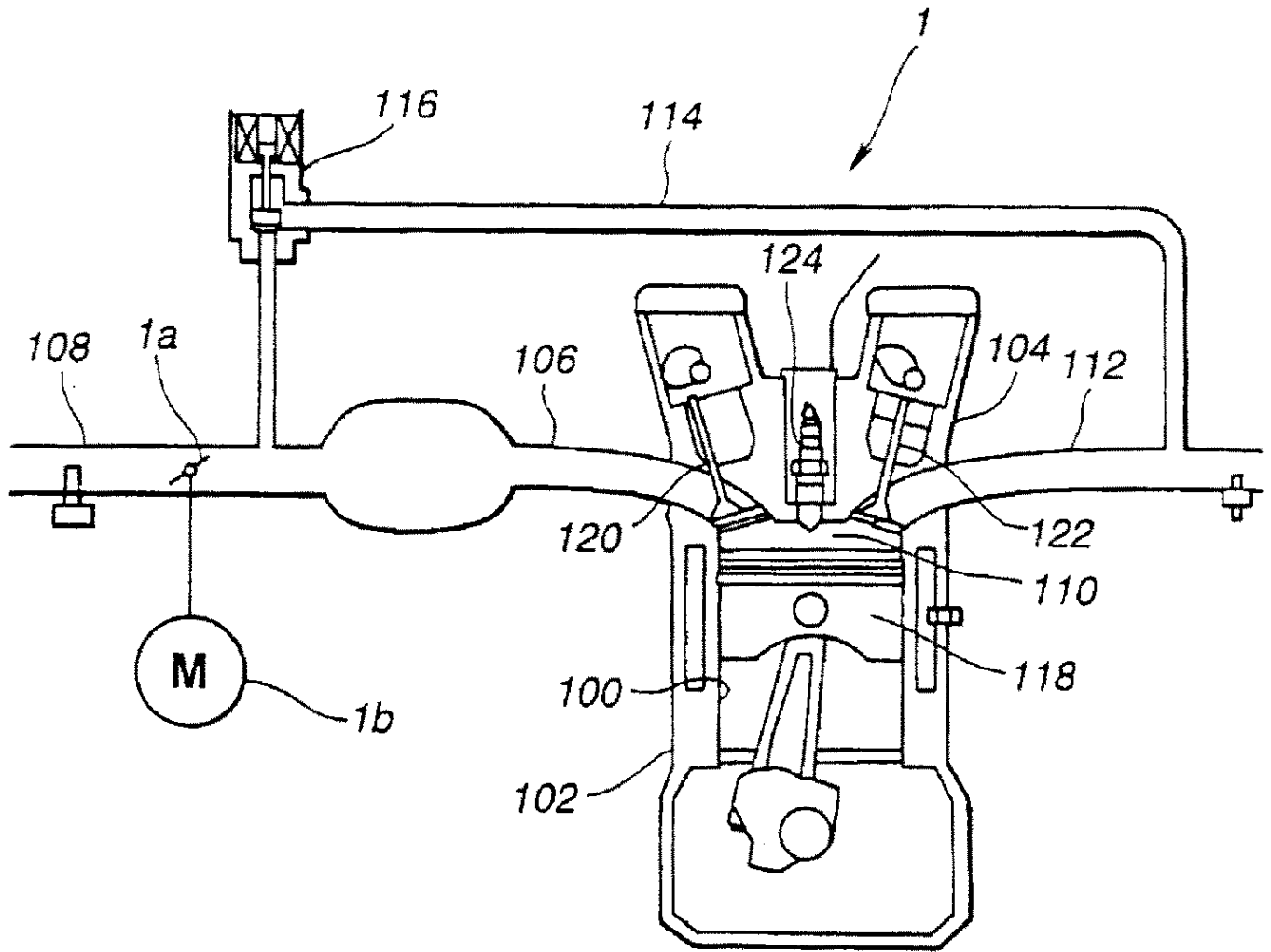
28.

27 ,
.

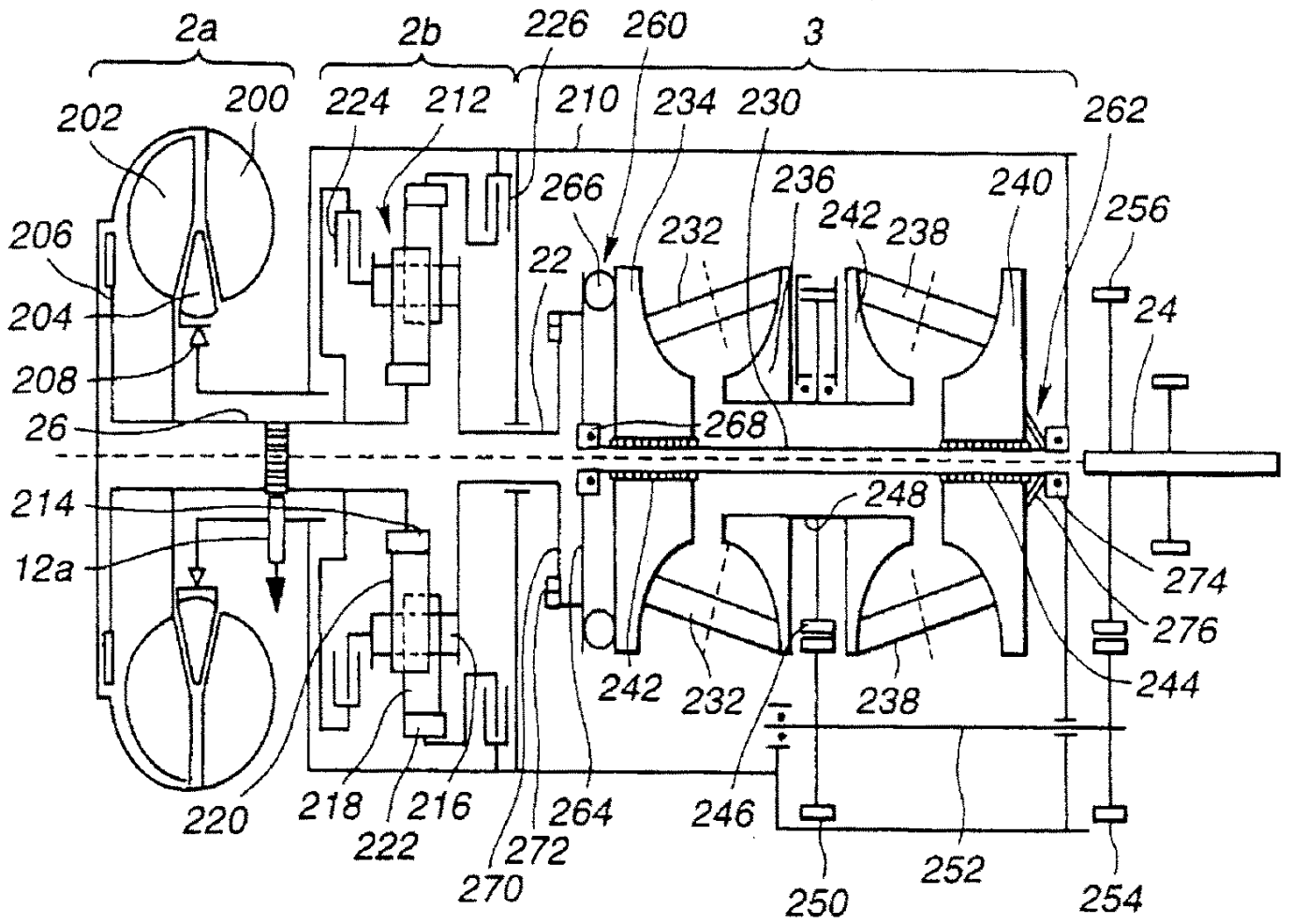
1



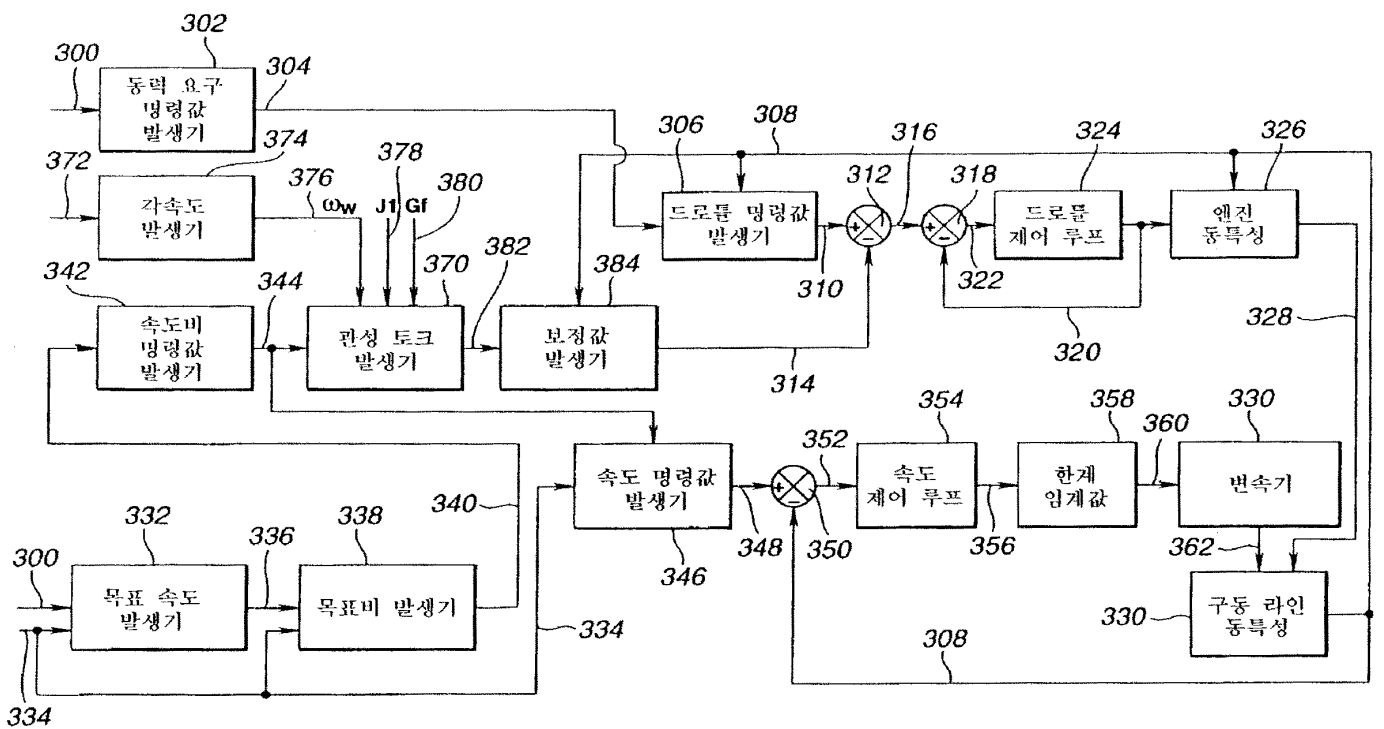
2



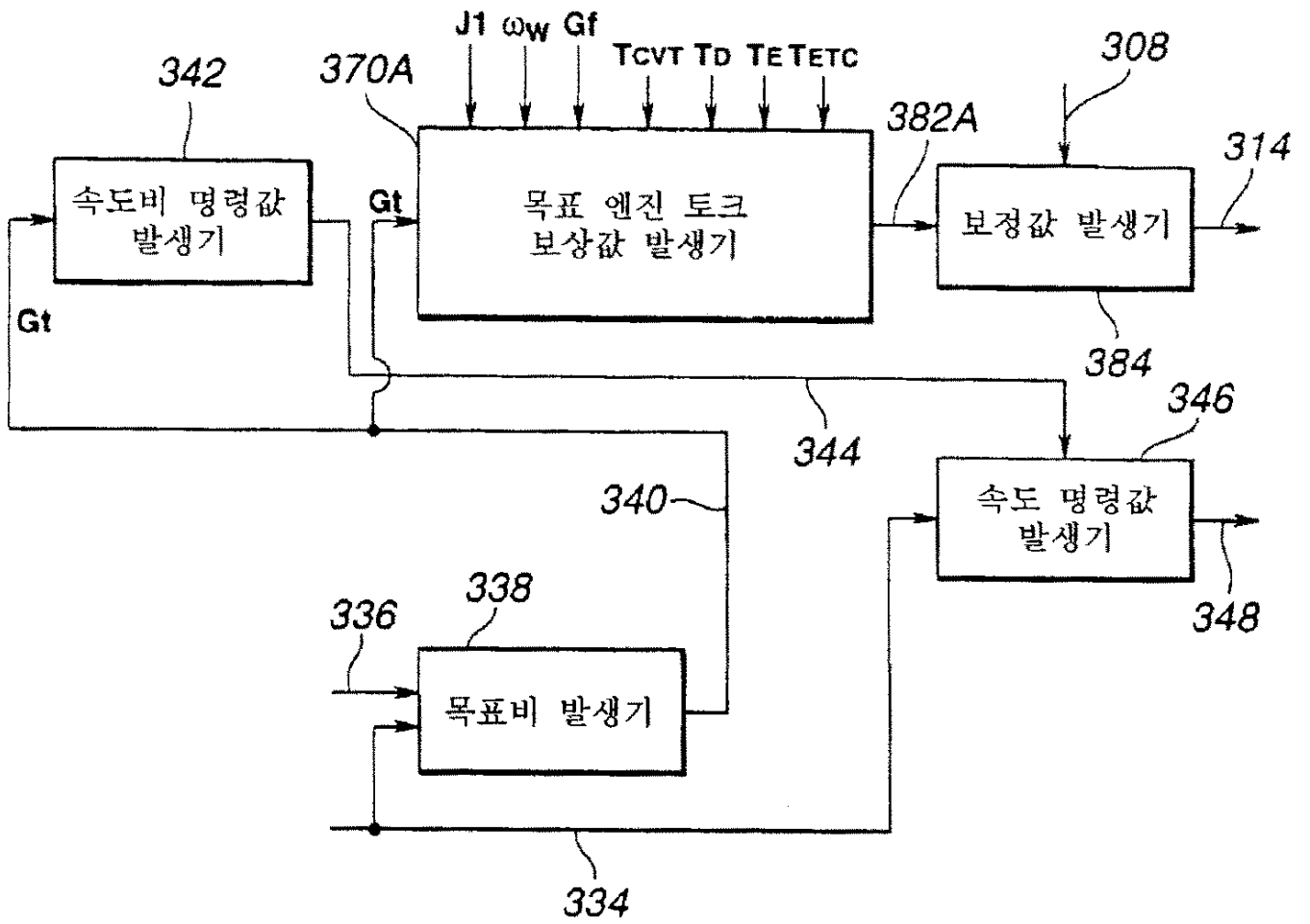
3



4

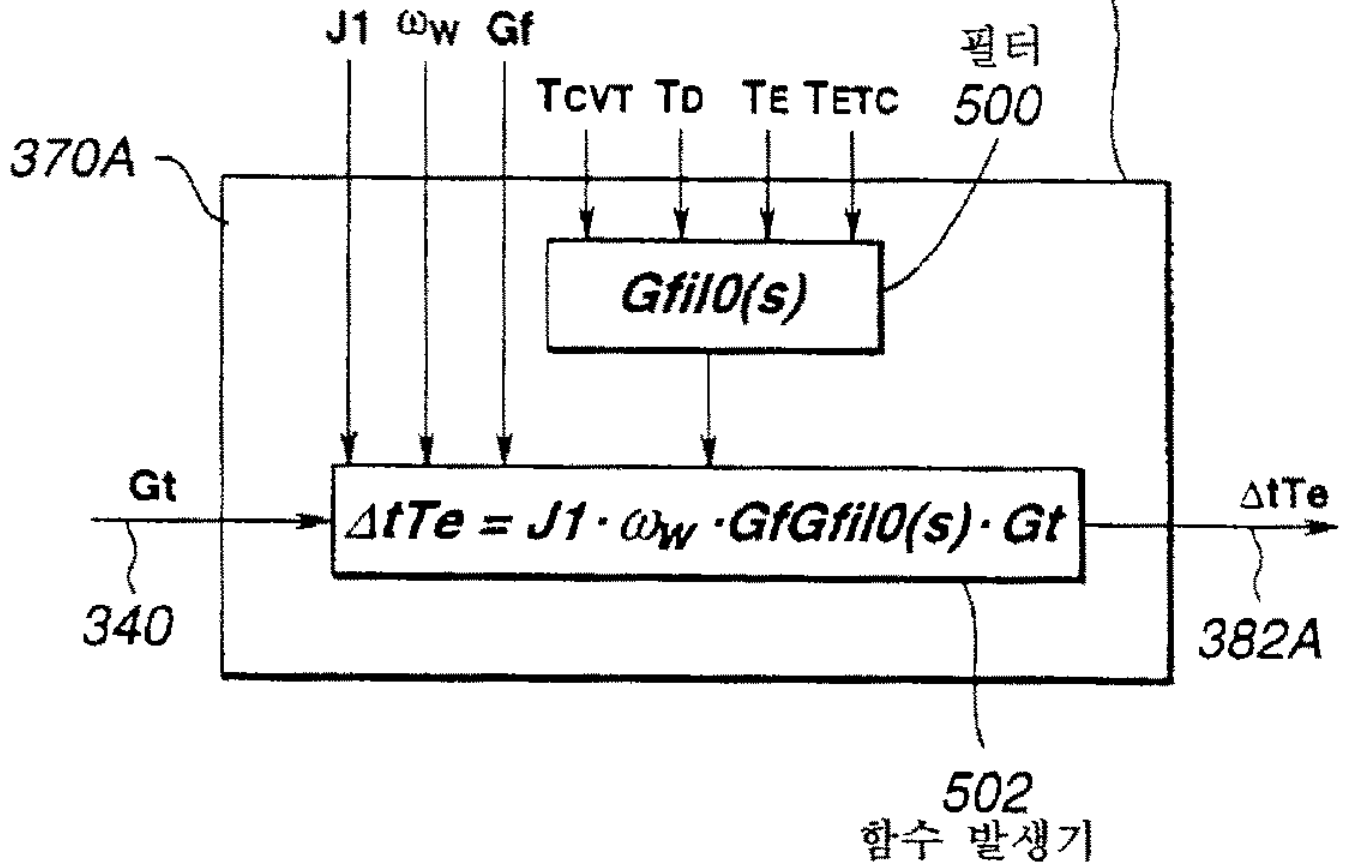


4a



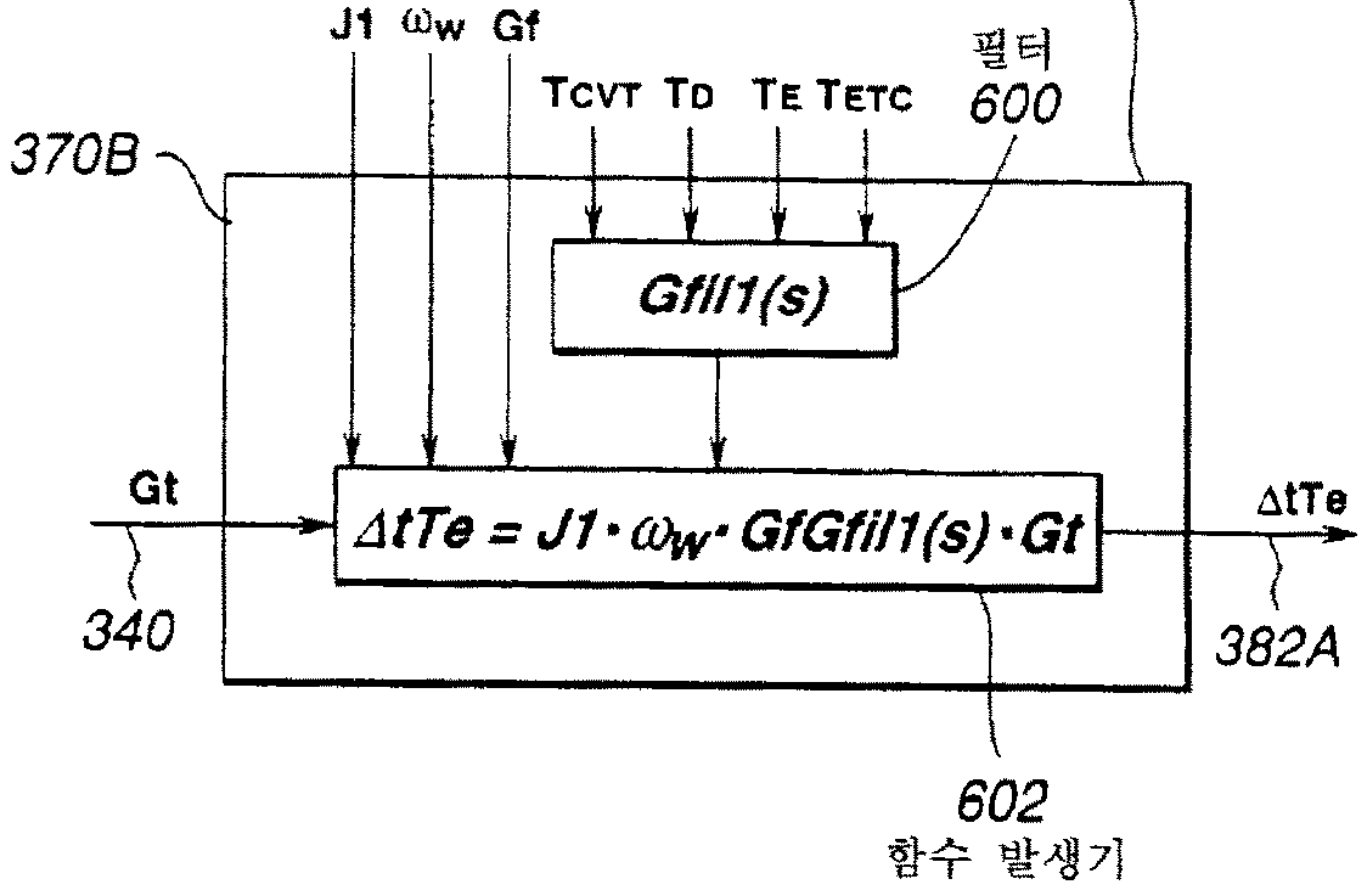
4b

목표 엔진 토크
보상값 발생기

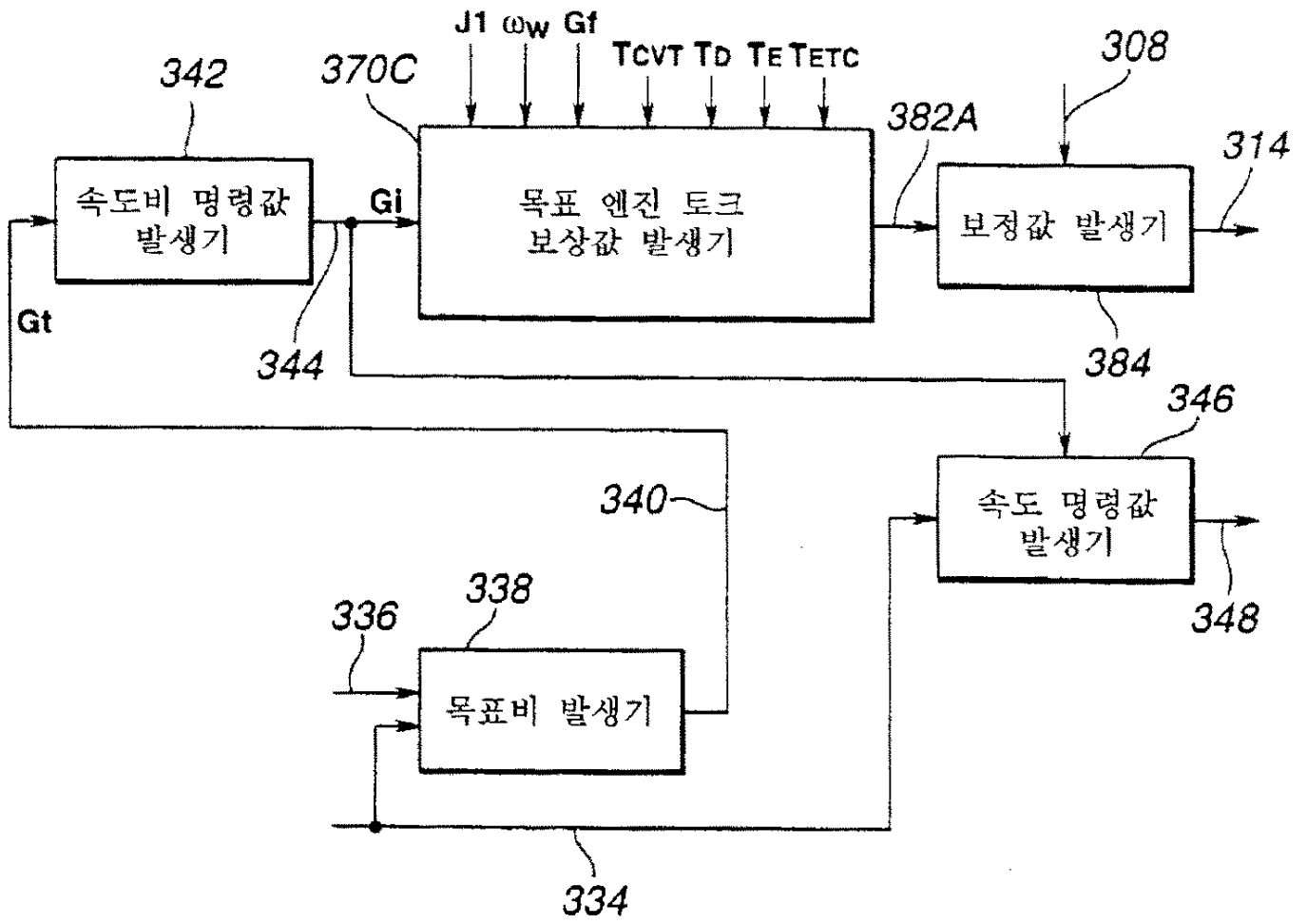


4c

목표 엔진 토크
보상값 발생기

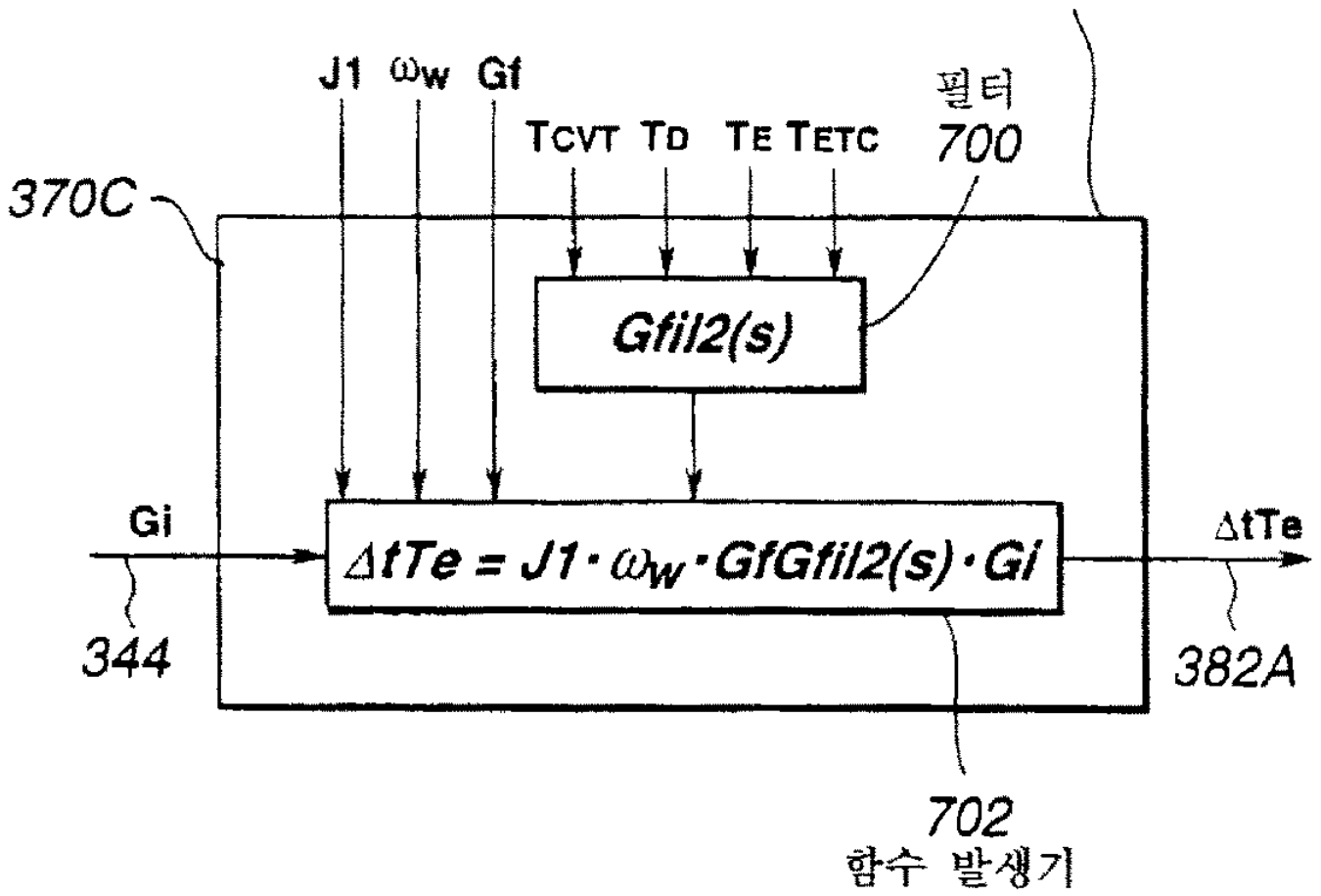


4d



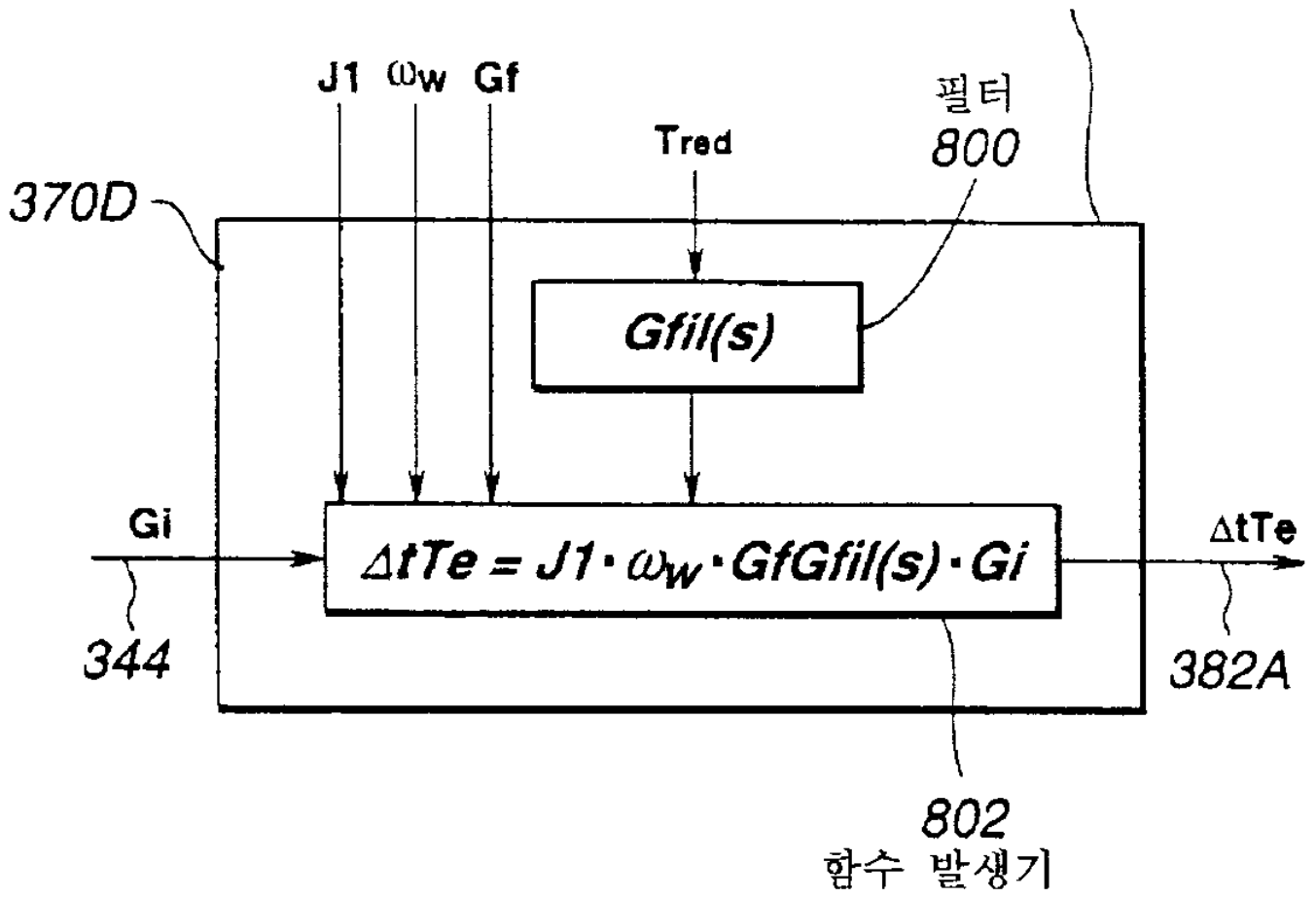
4e

목표 엔진 토크
보상값 발생기



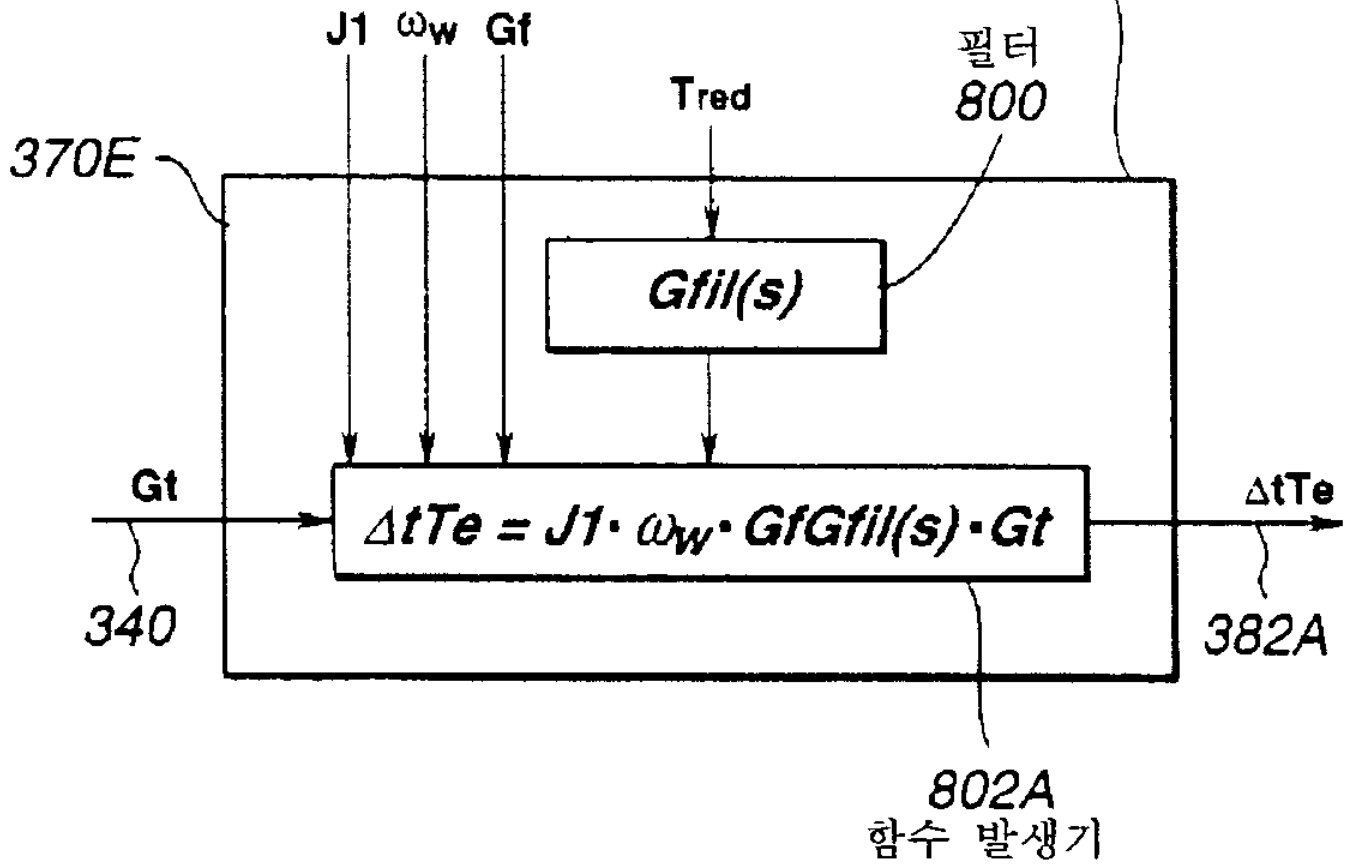
4f

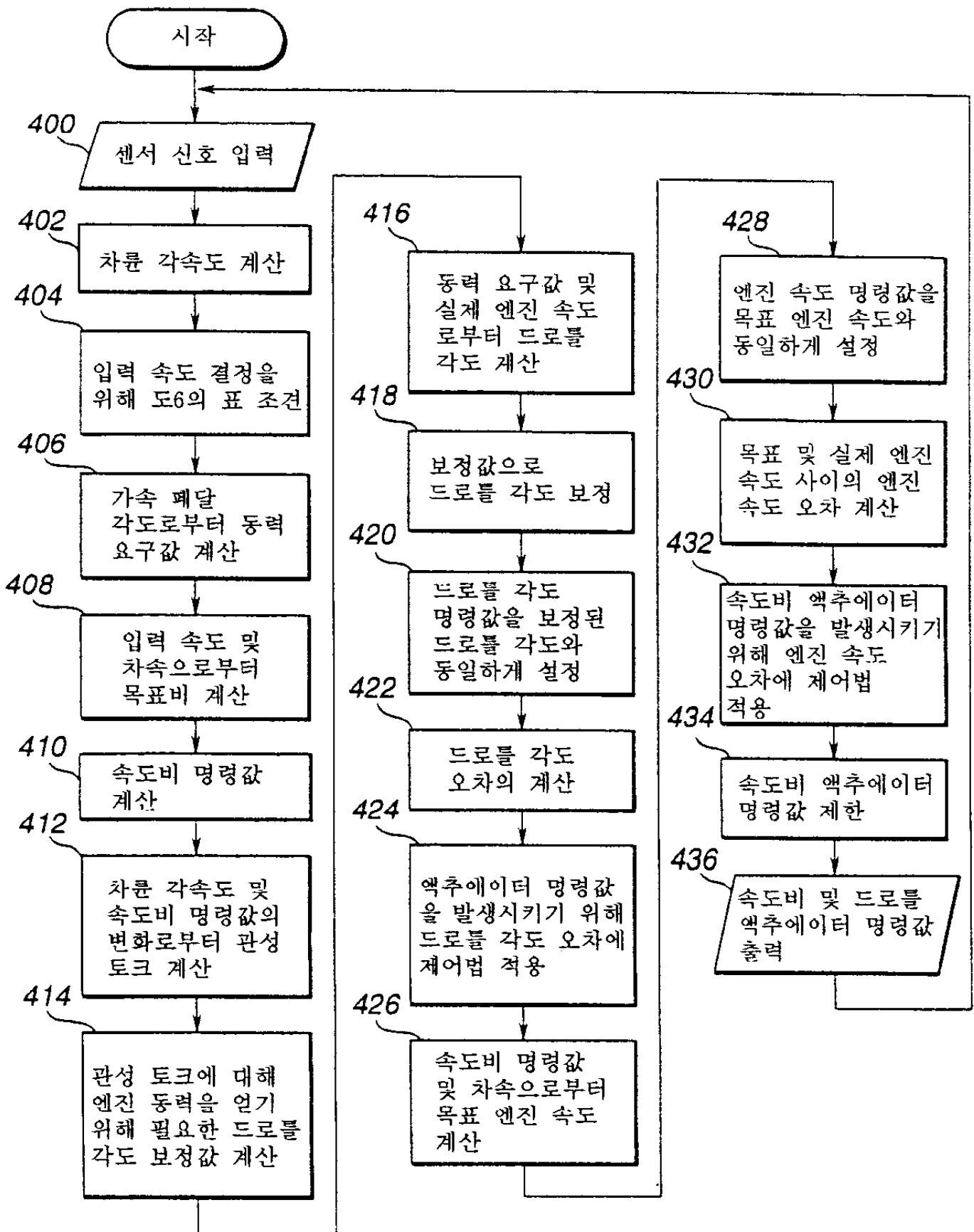
목표 엔진 토크
보상값 발생기



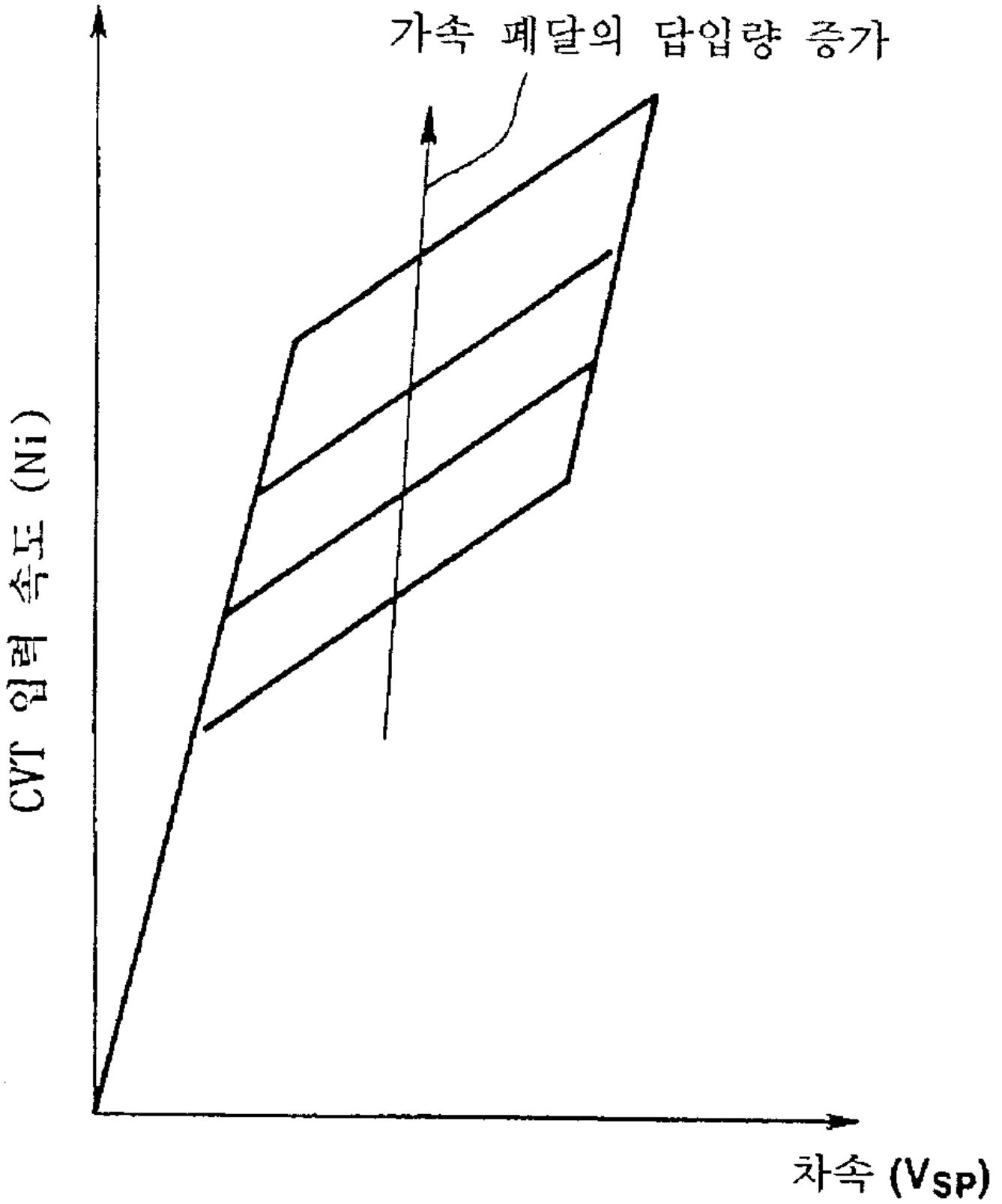
4g

목표 엔진 토크
보상값 발생기

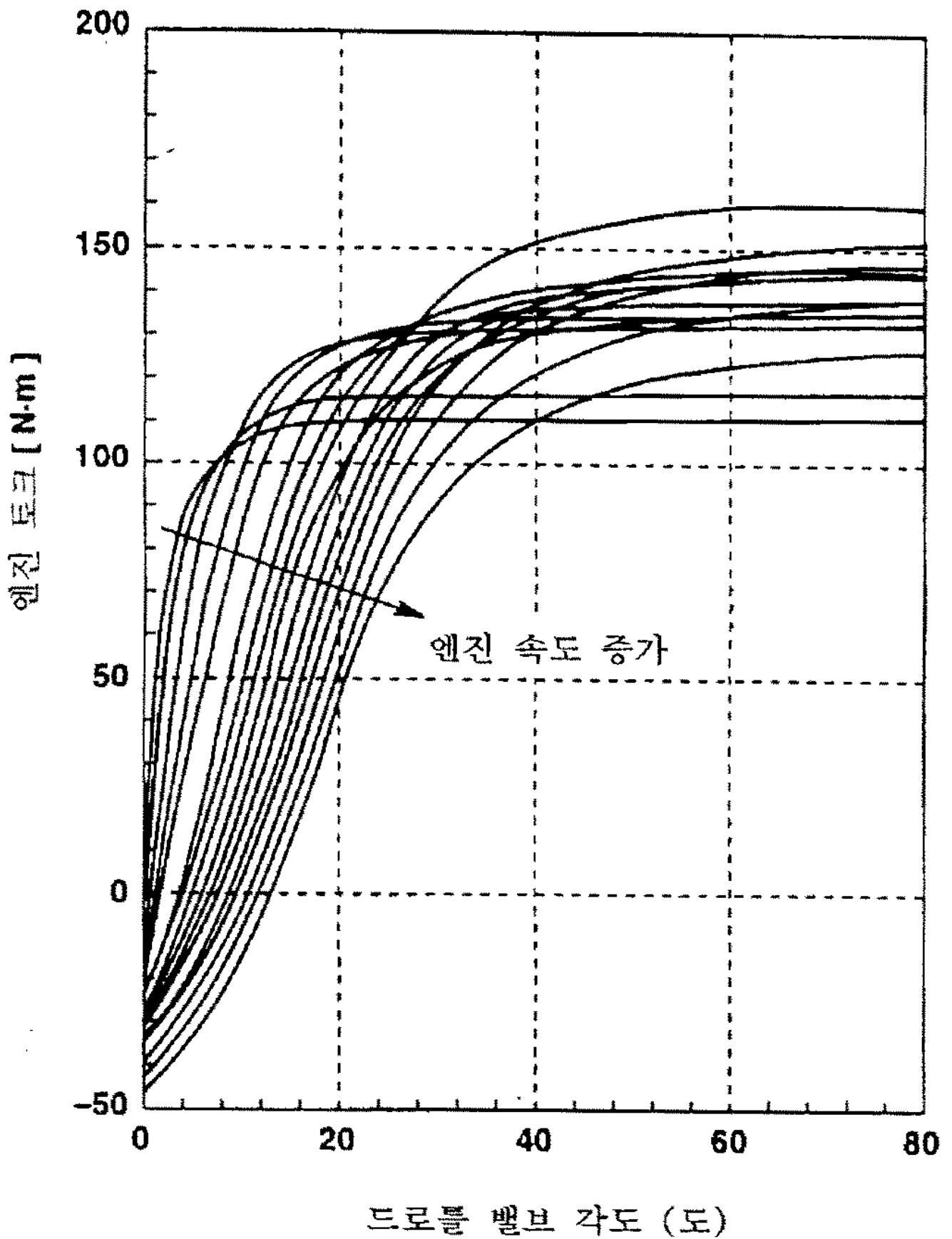




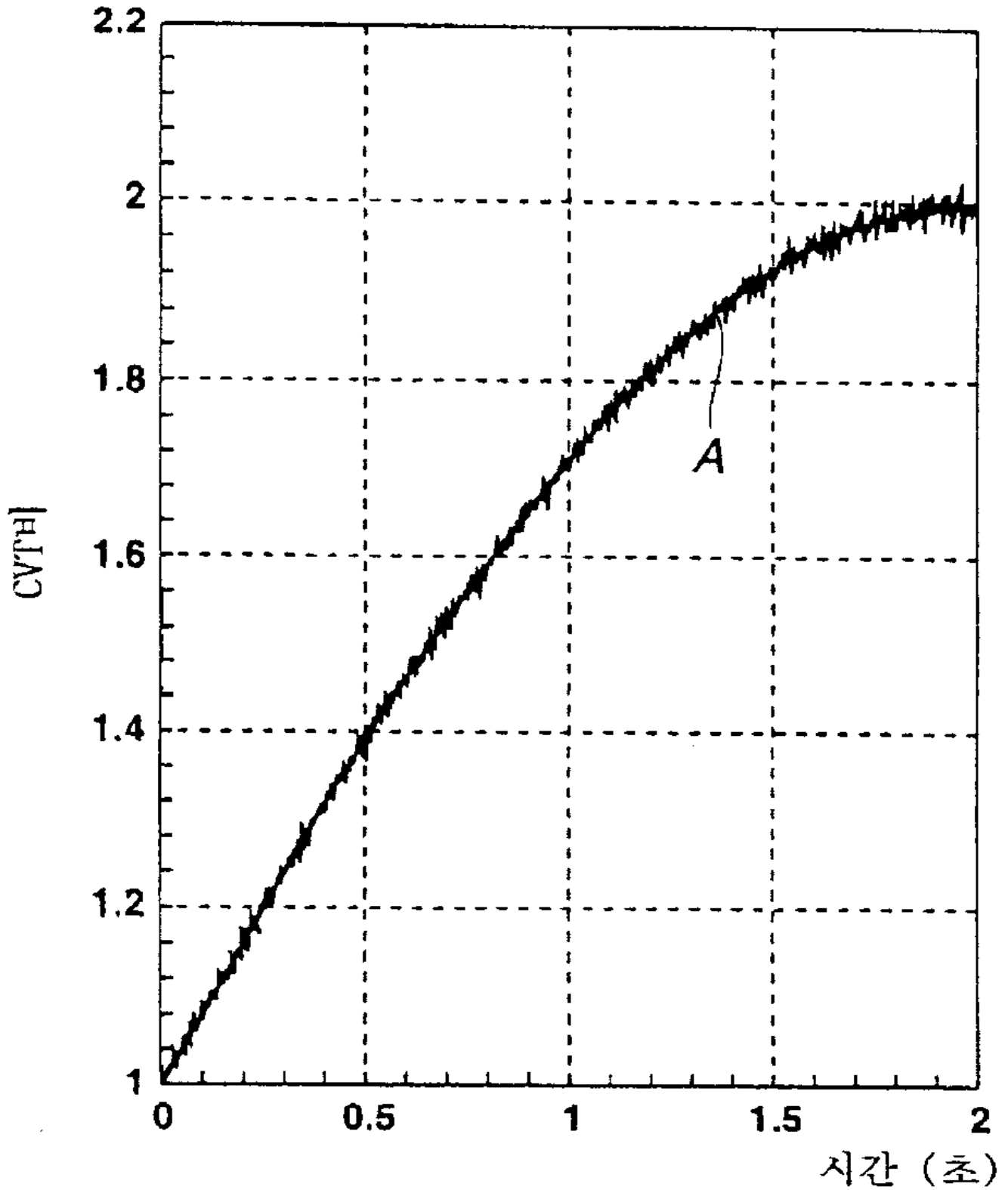
가속 페달의 답입량 증가



7

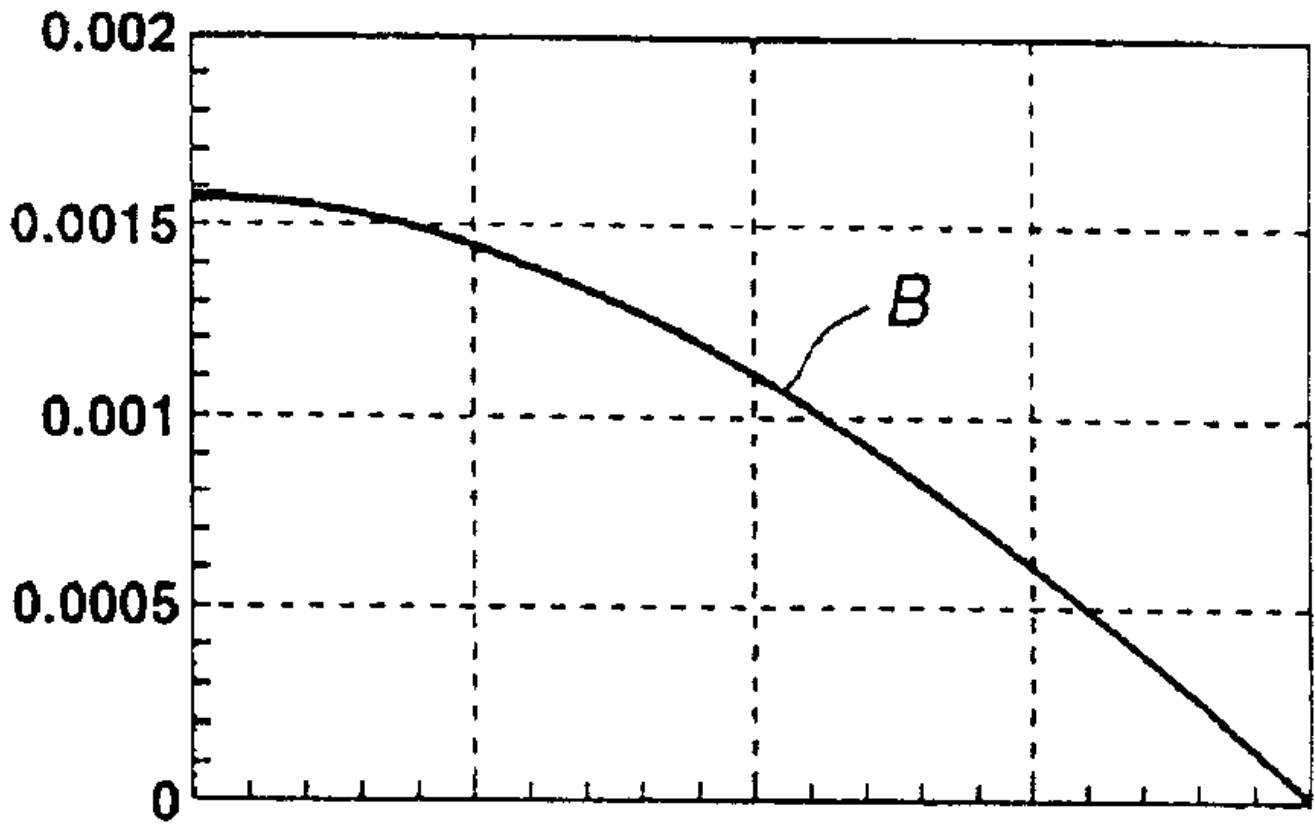


(종래 기술)



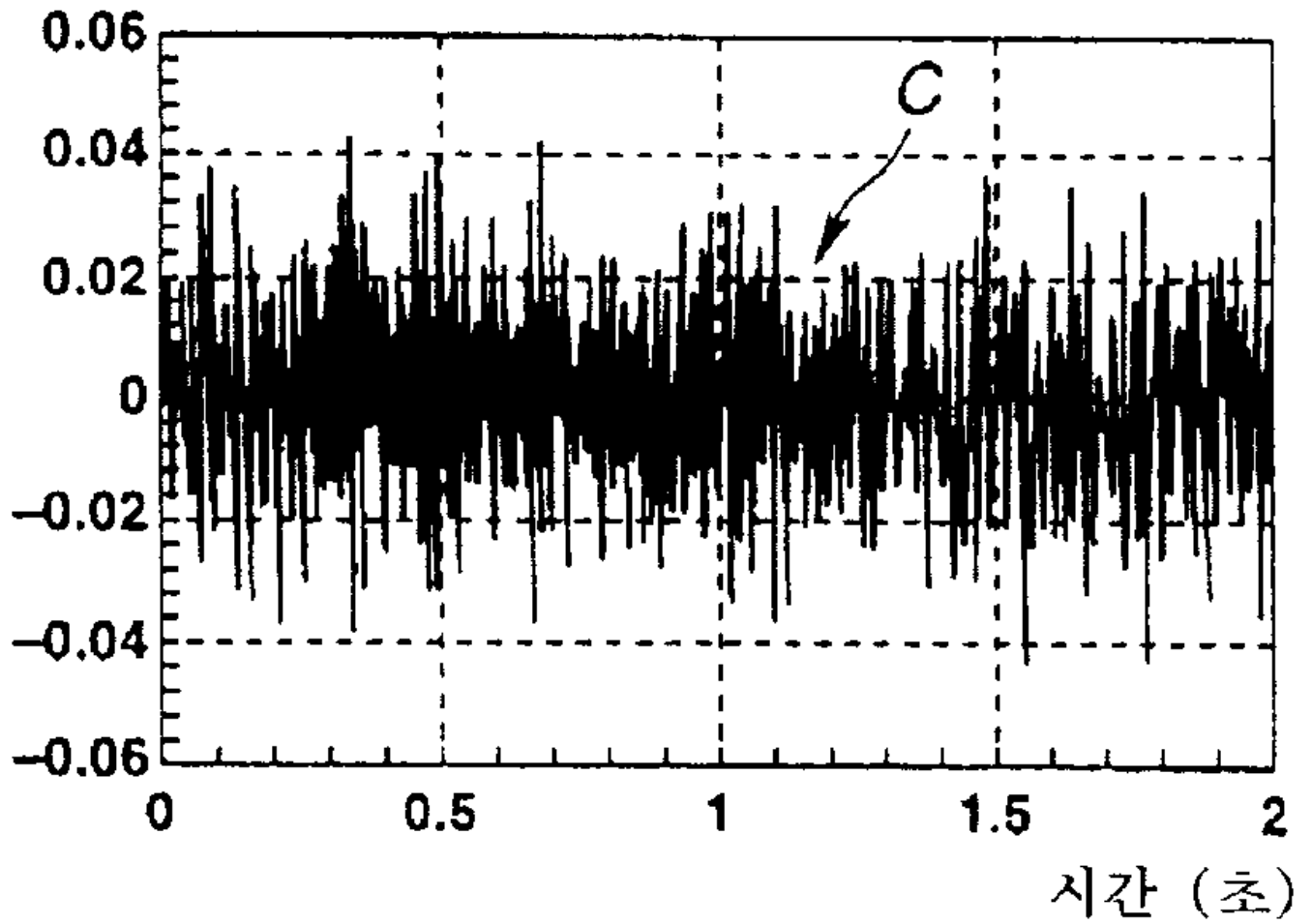
9a

(종래 기술)

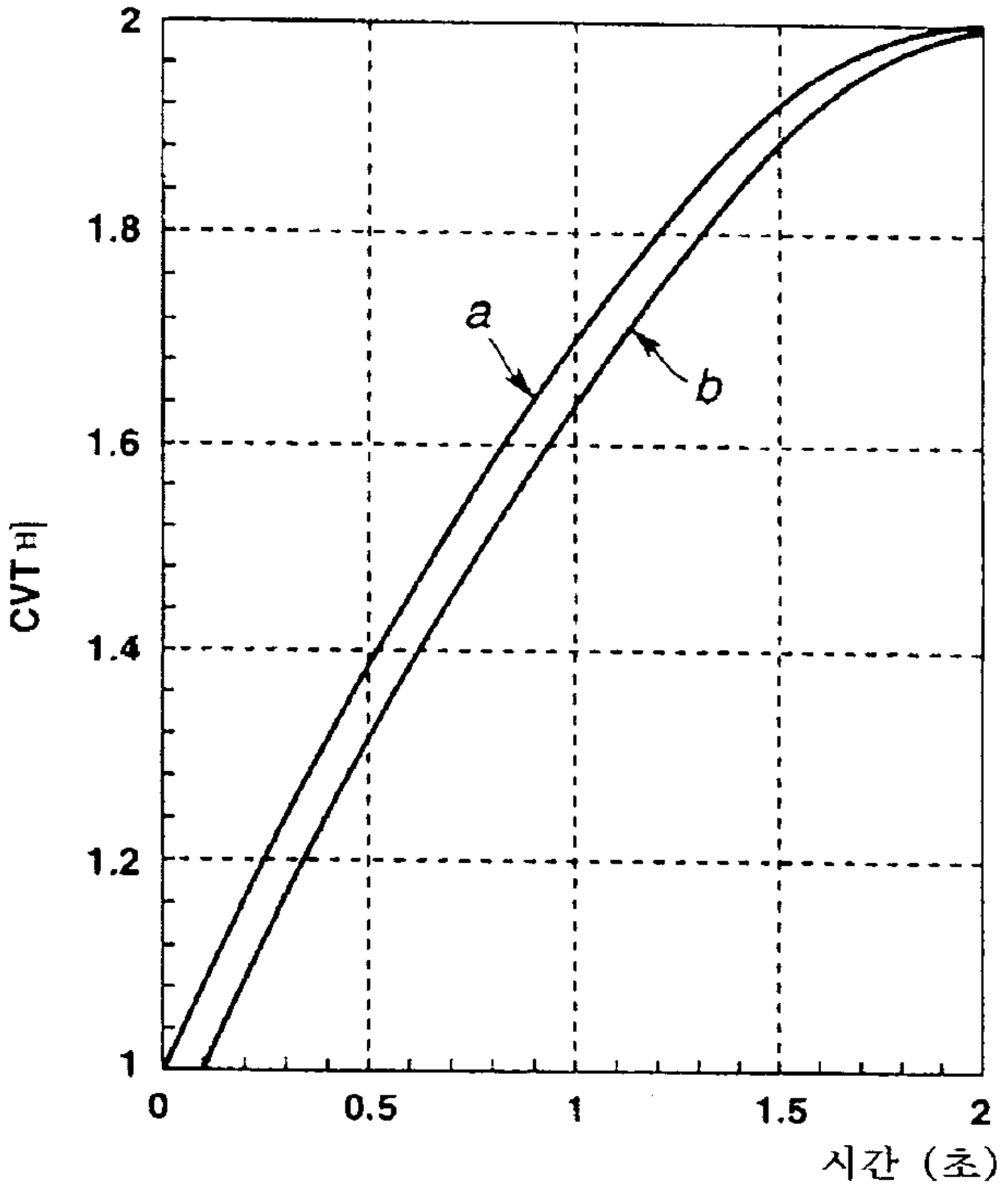


9b

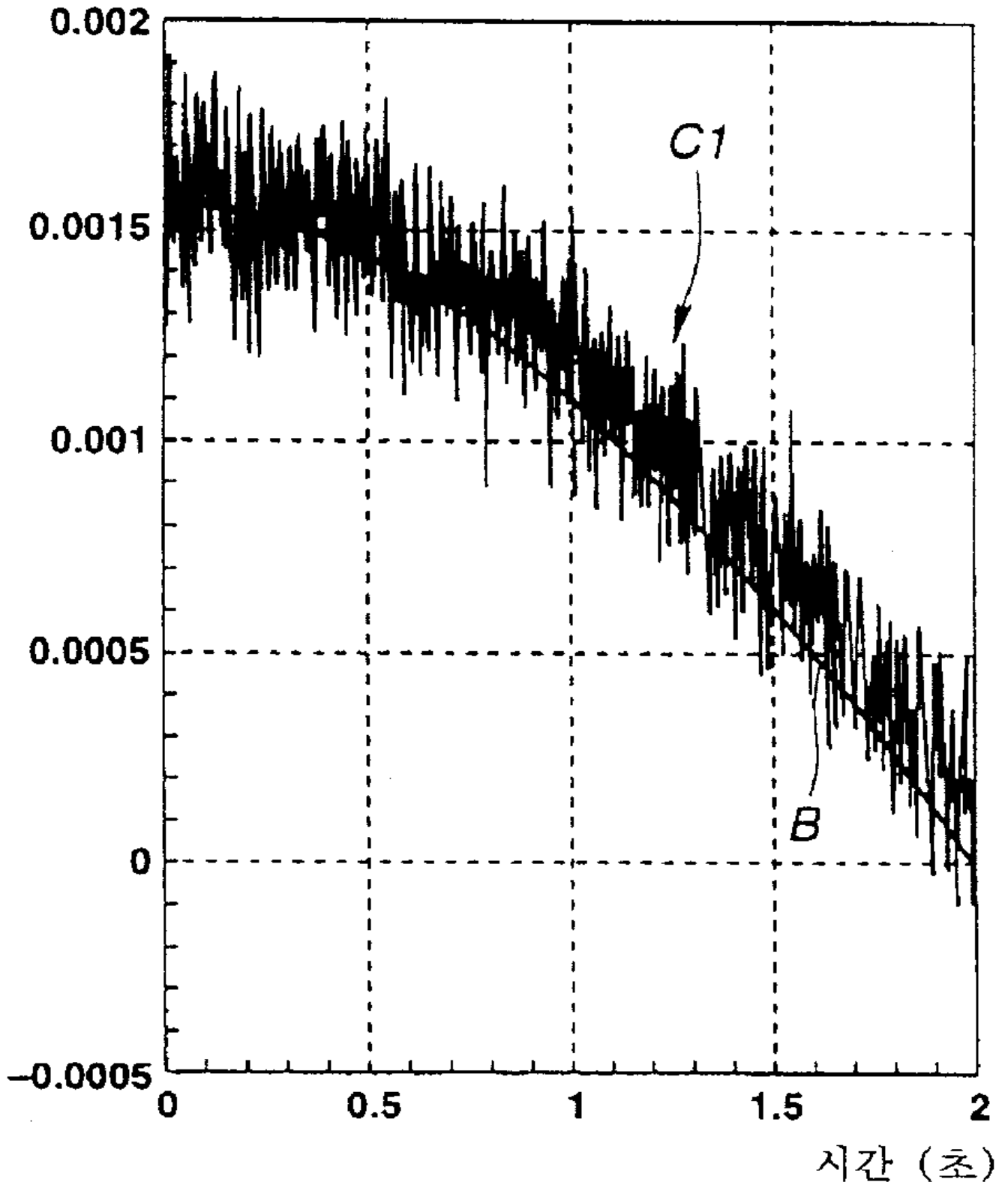
(종래 기술)



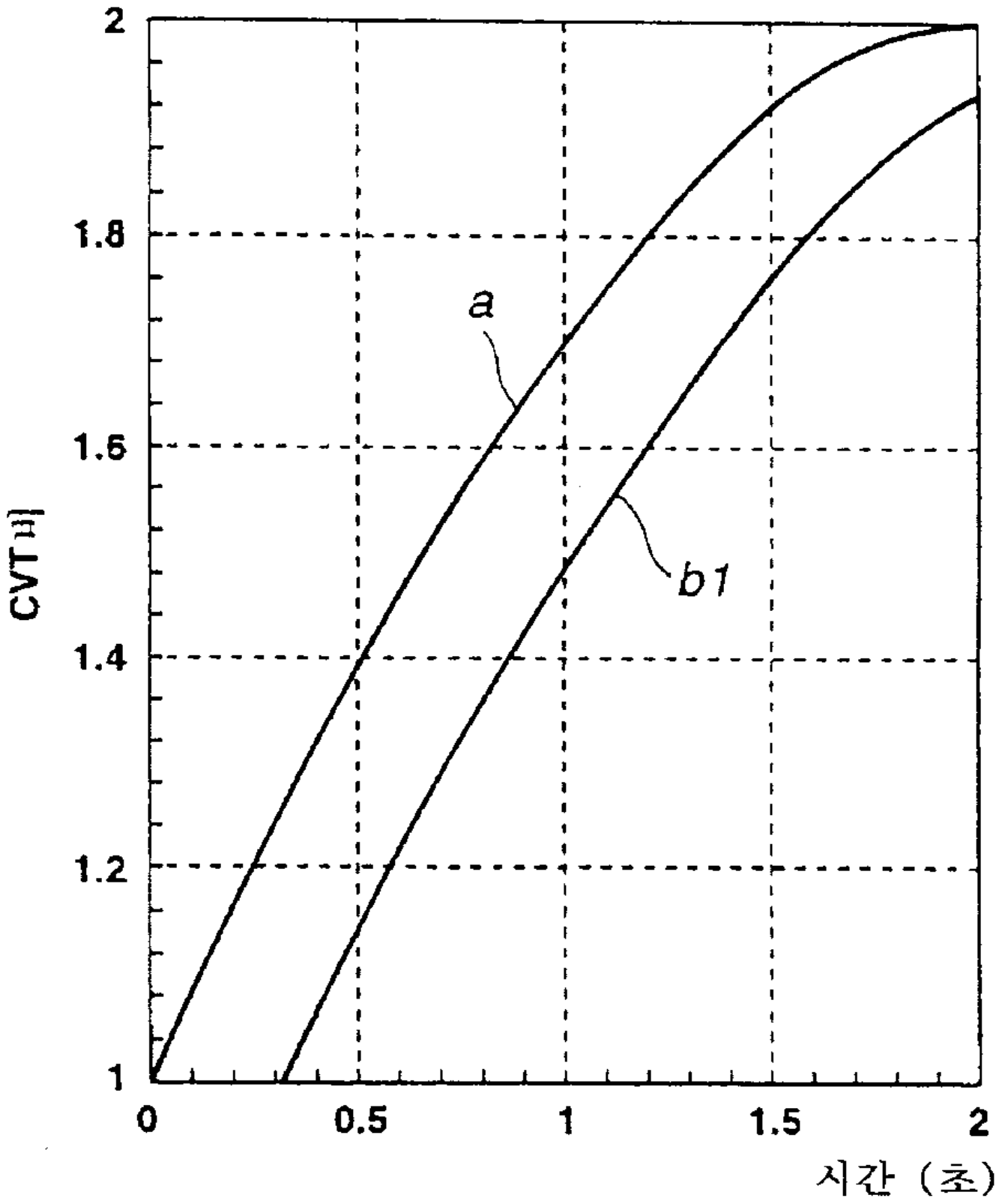
(종래 기술)



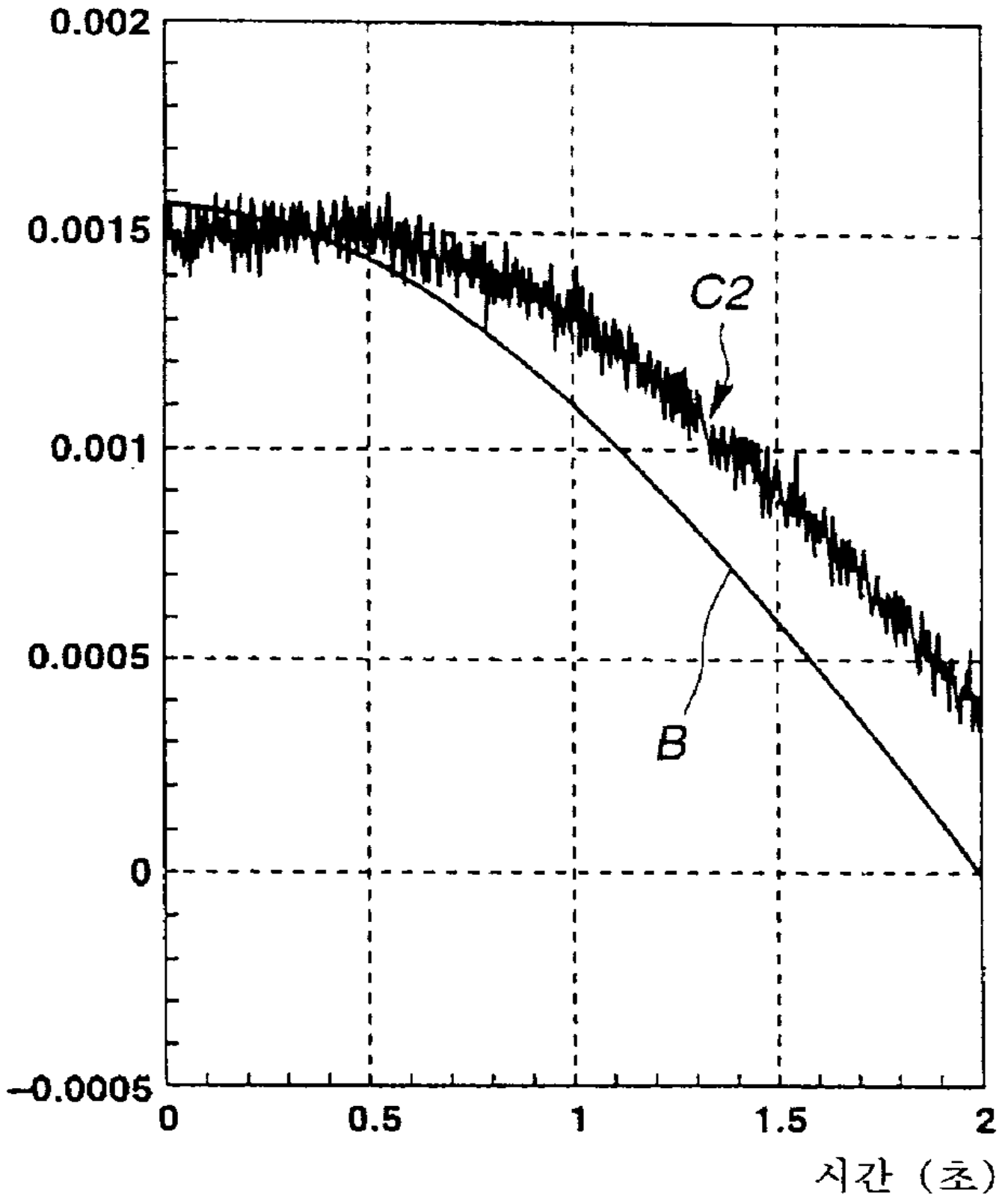
(종래 기술)

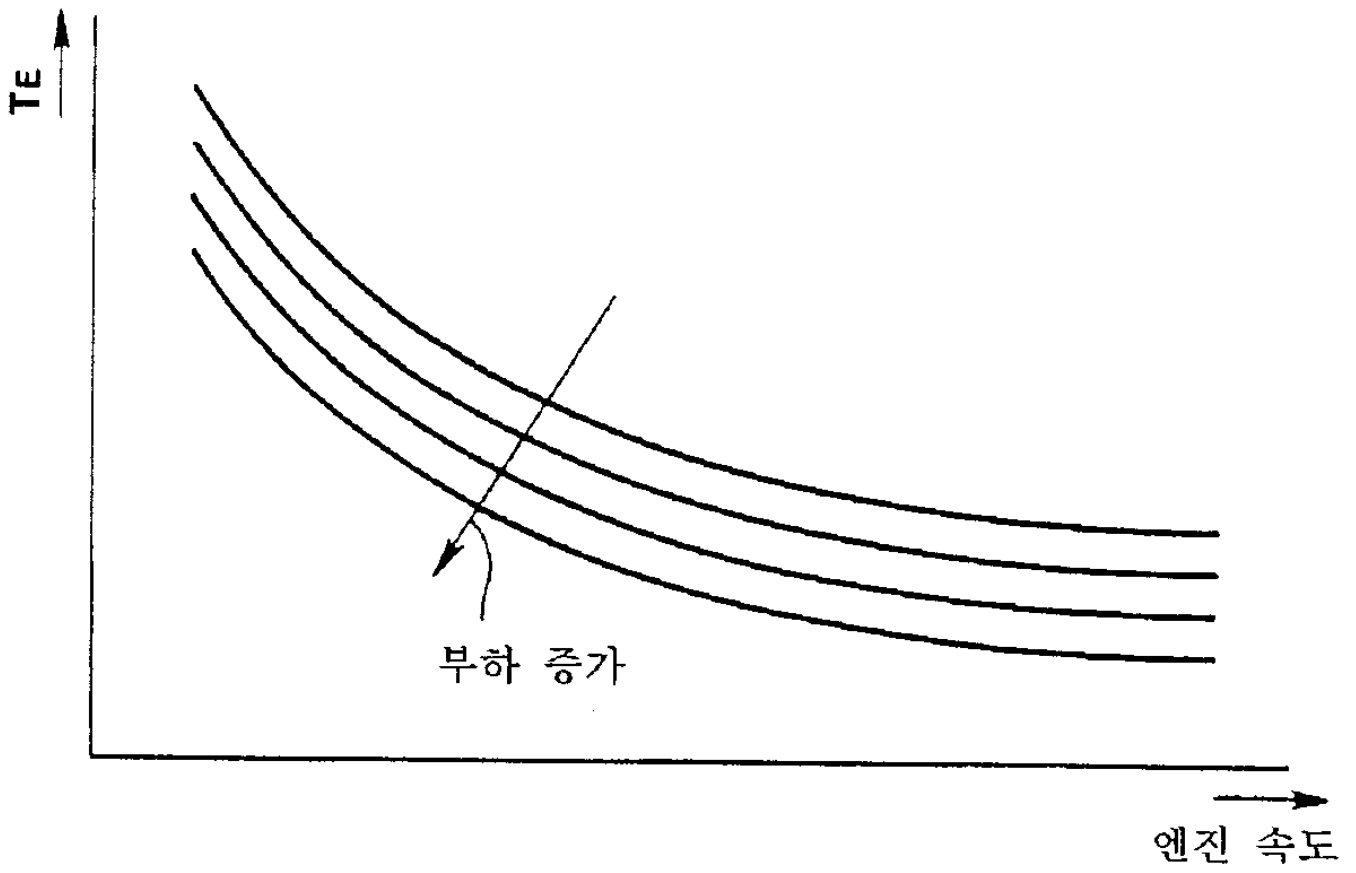


(종래 기술)

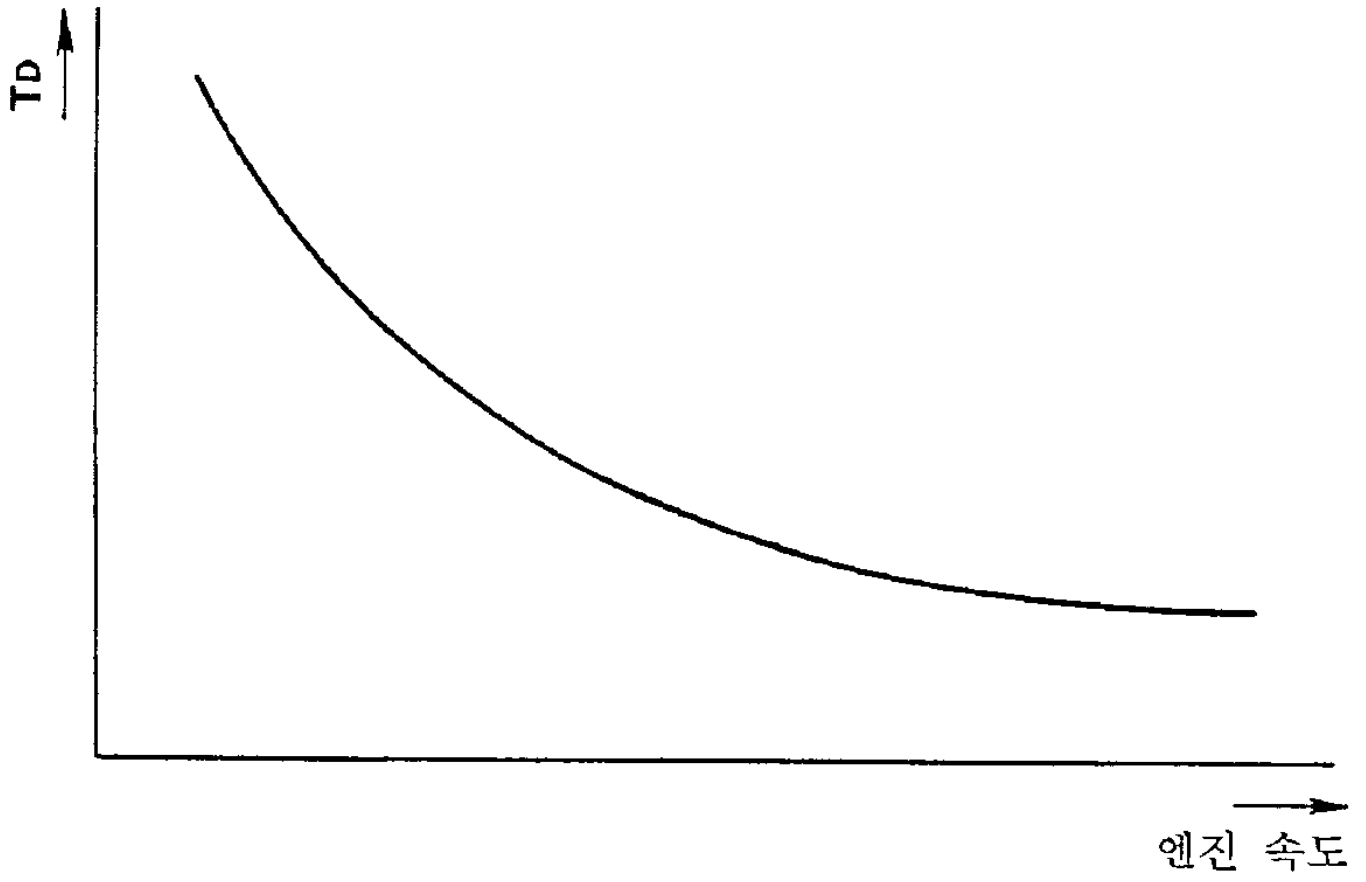


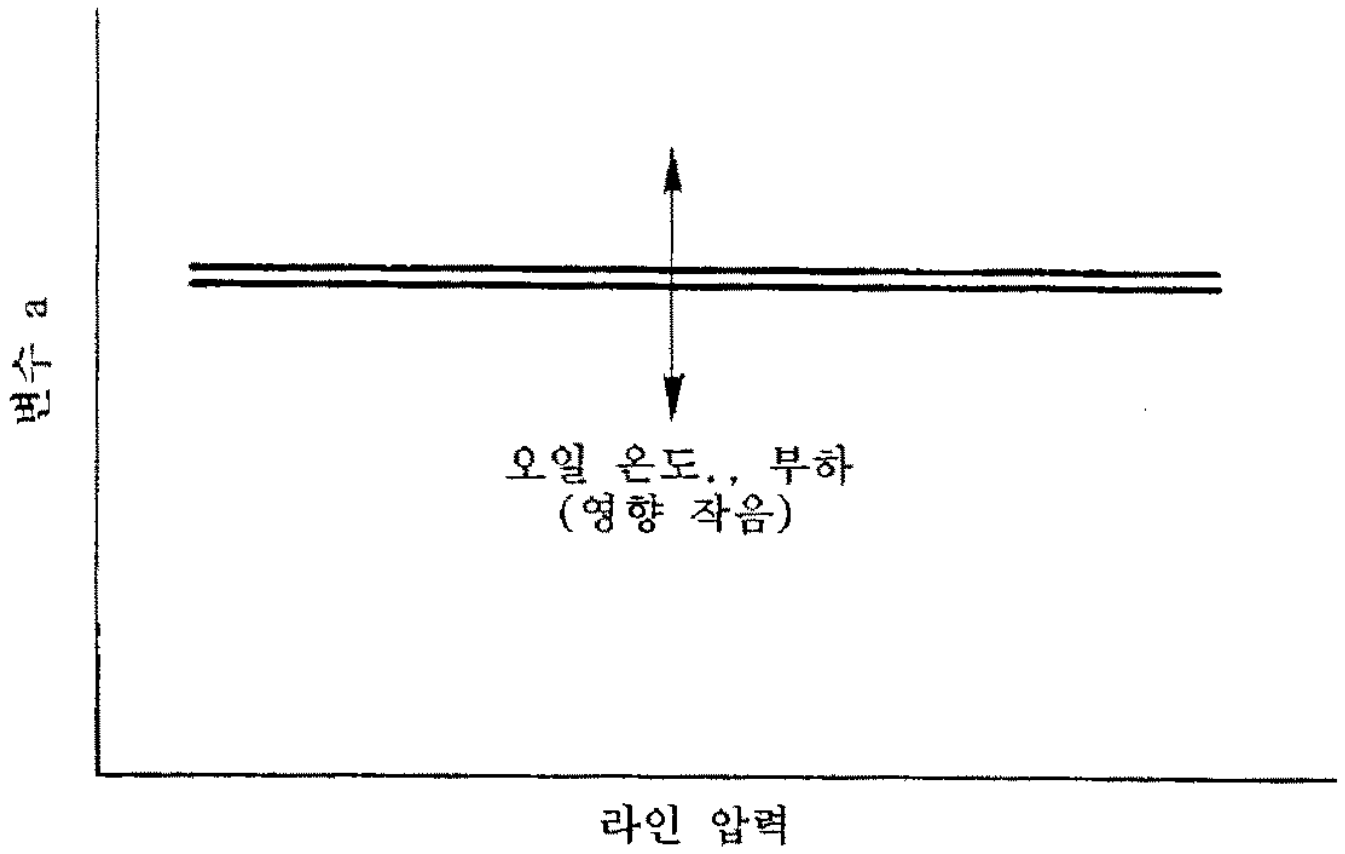
(종래 기술)

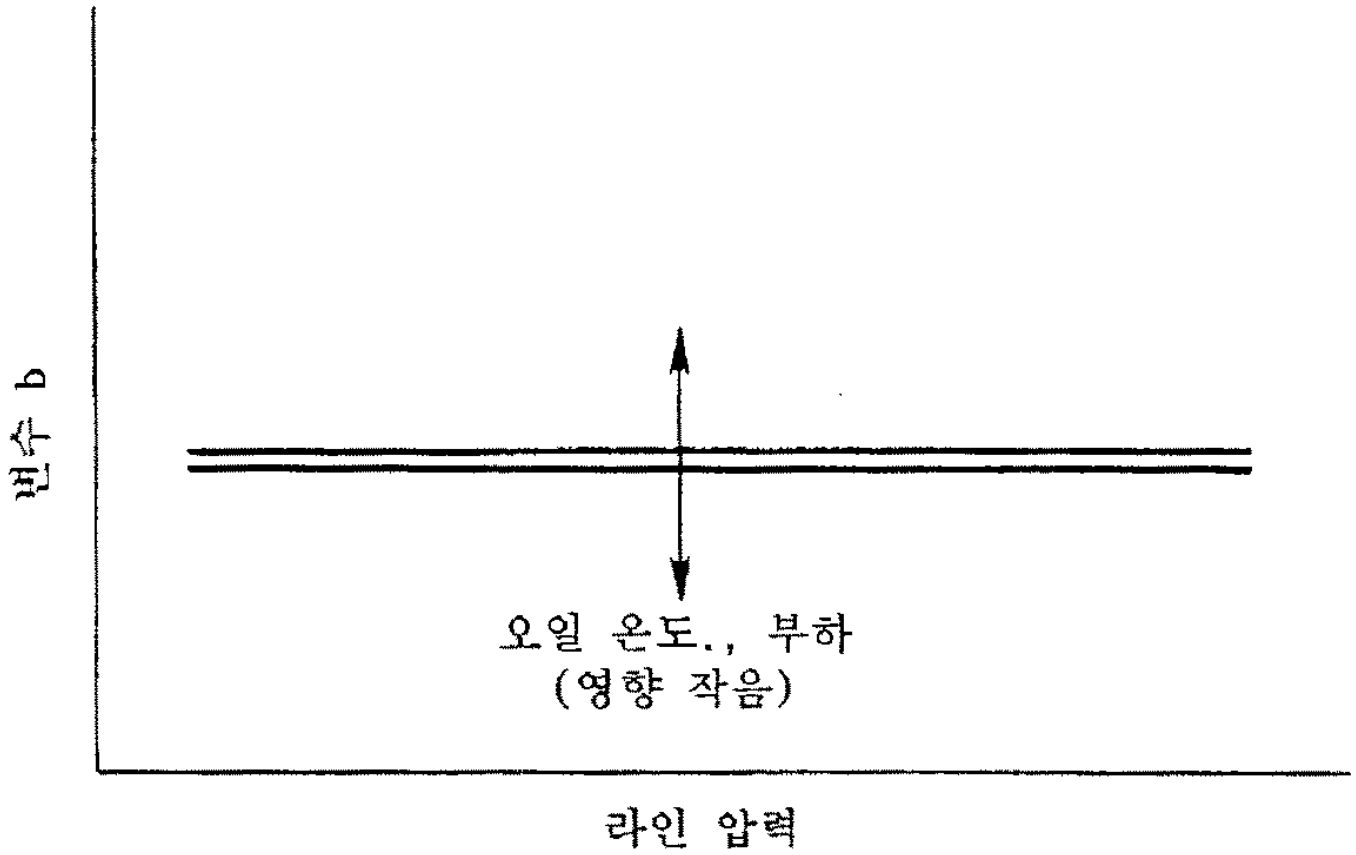


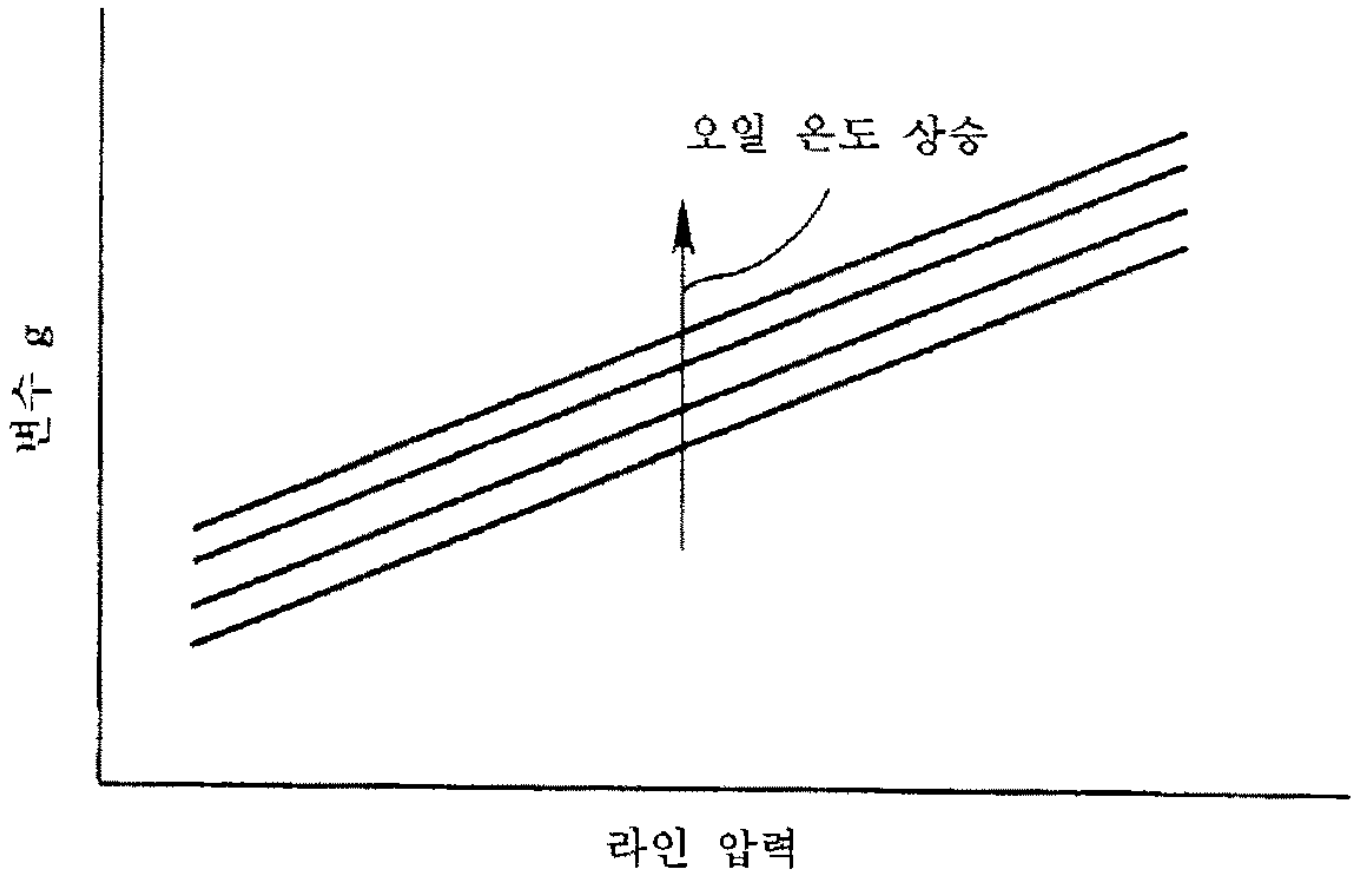


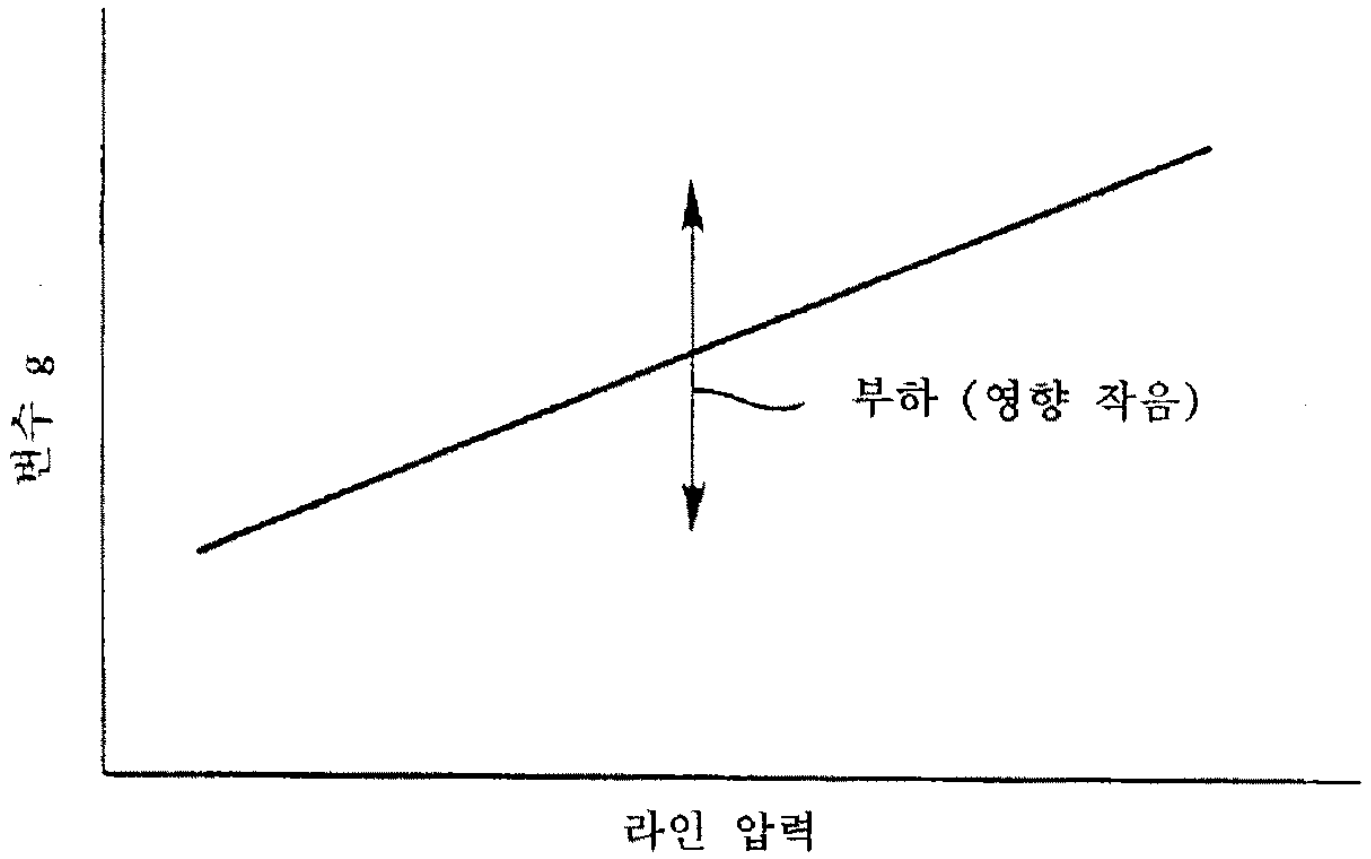
15











20

